



2022

Influenza and ORV Report EW 43/ Reporte de Influenza y OVR SE 43

Data as of 4 November 2022 – Datos hasta el 4 de noviembre del 2022

Regional Update: Influenza and Other Respiratory Viruses /
Actualización Regional: Influenza y otros virus respiratorios



WEEKLY REPORT DATA SOURCES

The information presented in this update is based on data provided by Ministries of Health and National Influenza Centers of Member States to the global informatics platforms FluNet and FluID; and reports/weekly bulletins that Ministries of Health published on its website or shared with PAHO/WHO.

Compared to the same period of the previous years, the current influenza surveillance data should be interpreted in light of the ongoing COVID-19 pandemic, which may have influence, to differing extents, health seeking behaviors, staffing/routines in sentinel sites, and testing capacities in Member States.

© Pan American Health Organization, 2022

Some rights reserved. This work is available under license CC BY-NC-SA 3.0 IGO.

La información presentada en esta actualización se obtiene a partir de los datos notificados por los Ministerios de Salud y los Centros Nacionales de Influenza de los Estados Miembros a las plataformas informáticas globales de la OPS/OMS: FluNet y FluID; y de los informes/boletines semanales que los Ministerios de Salud publican en sus páginas web o comparten con la OPS/OMS.

En comparación con el mismo período de los años anteriores, los datos actuales de vigilancia de la influenza deben interpretarse a la luz de la pandemia de COVID-19 en curso, que puede tener influencia en diferentes grados, comportamientos de búsqueda de salud, personal / rutinas en sitios centinela, y capacidades de prueba en los Estados Miembros.

© Organización Panamericana de la Salud, 2022

Algunos derechos reservados. Esta obra está disponible en virtud de la licencia CC BY-NC-SA 3.0 IGO.

PAHO interactive data / Datos interactivos de la OPS:

PAHO FluNet: http://ais.paho.org/hip/viz/ed_flu.asp

PAHO FluID: <http://ais.paho.org/hip/viz/flumart2015.asp>

Influenza Situation Report / Informe de situación de influenza

In English: <https://www.paho.org/hq/influenzareport>

En español: www.paho.org/reportesinfluenza

Severe acute respiratory infections network – SARI*net* plus

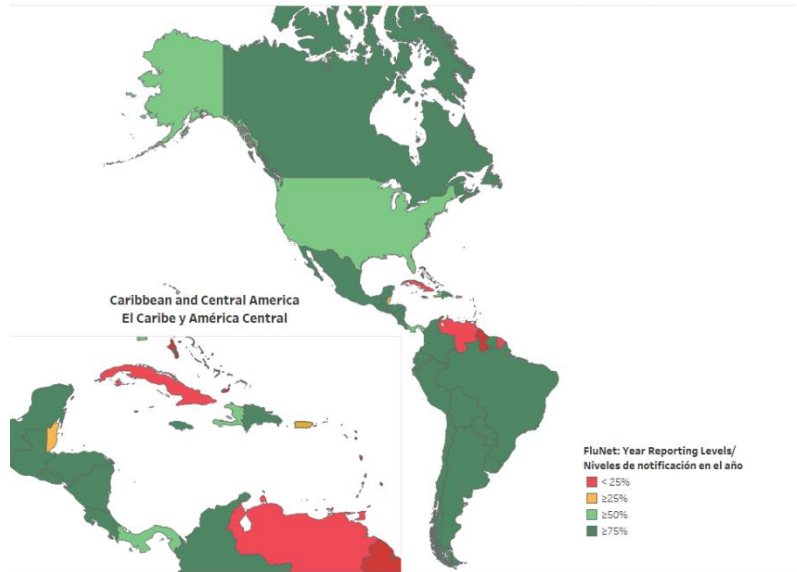
Red de las infecciones respiratorias agudas graves – SARI*net* plus

<http://www.sarinet.org>

[Go to Index / Ir al Índice](#)

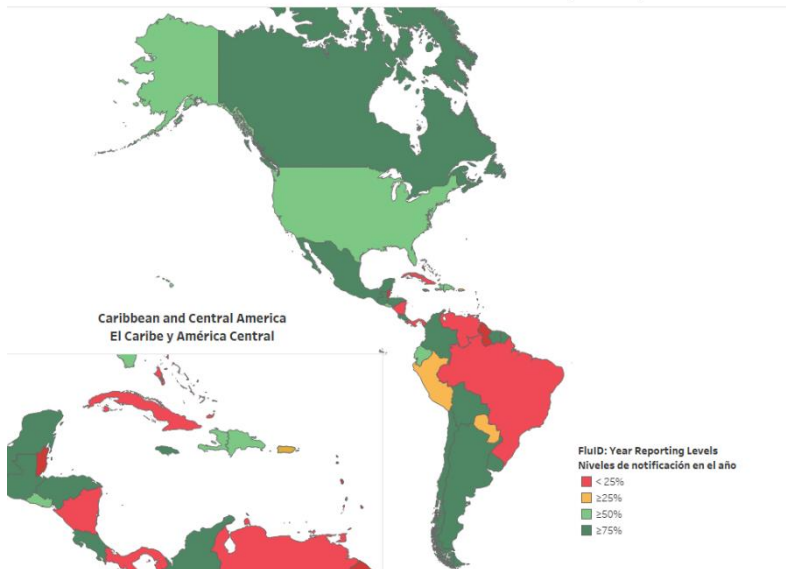


Reporting percentage to FluNet during 2022 (EW 1-43)
Porcentaje de notificación a FluNet en el 2022 (SE 1-43)



fluID

Reporting Percentage to fluID during 2022 (EW 1-43)
Porcentaje de notificación a fluID en el 2022 (SE 1-43)



REPORT INDEX ÍNDICE DE LA ACTUALIZACIÓN

Weekly summary	5
Resumen Semanal	6
Regional Summary - Overall Influenza and RSV Circulation / Resumen regional - Circulación gneral de los virus influenza y vrs	7
Overall other respiratory virus circulation and SARS-CoV-2 variants of concern / Circulación general de otros virus respiratorios y variantes de preocupación del SARS-CoV-2	8
Weekly and Cumulative Numbers / Números semanales y acumulados	9
Epidemiological and Virologic Updates by Country / Actualización epidemiológica y virológica por país	10
North America / América del Norte	11
Caribbean / Caribe	16
Central America / América Central.....	26
South America / América del Sur – Andean Countries / Países andinos	33
South America / América del Sur / South Cone and Brazil / Cono sur y Brasil	39
Technical Note / Nota Técnica	45
Acronyms / Acrónimos.....	46





WEEKLY SUMMARY

North America: Influenza activity is low, but increasing in the subregion. Influenza A(H3N2) predominated with the co-circulation of influenza A(H1N1)pdm09 and influenza B/Victoria. The SARS-CoV-2 activity was low overall, and RSV circulation continued to rise. In [Canada](#), influenza was at baseline levels, with increased activity, and in [Mexico](#), influenza was at moderate-intensity levels. In the [United States](#), influenza activity increased, with A(H3N2) predominance.

Caribbean: Influenza activity remained low across the subregion with A(H3N2) virus predominance. Influenza activity is increasing in [Jamaica](#) and [Puerto Rico](#). The SARS-CoV-2 activity was raised in [Dominica](#).

Central America: Influenza activity remained low but increased with influenza A(H3N2) predominance and the co-circulation of influenza B (lineage undetermined). SARS-CoV-2 activity remained low in the subregion overall. Influenza activity increased in [Guatemala](#) with A(H3N2) predominance, and in [Nicaragua](#) increased with the circulation of influenza B (lineage undetermined). RSV activity is increased in [Costa Rica](#) and [El Salvador](#).

Andean: Influenza activity remained low, with the predominance of influenza A(H3N2) and co-circulation of influenza B/Victoria. Overall, SARS-CoV-2 and RSV activity was low in the subregion. However, [Bolivia](#) reported increased influenza activity with co-circulation of A(H3N2) and B/Victoria.

Brazil and Southern Cone: Influenza activity increased in the subregion, with influenza A(H3N2) predominance and co-circulation of influenza A(H1N1)pdm09 and influenza B/Victoria. SARS-CoV-2 activity has remained low overall. [Argentina](#), [Chile](#), and [Uruguay](#) reported increased influenza activity, while RSV activity remains high in [Brazil](#) and [Uruguay](#).





RESUMEN SEMANAL

América del Norte: la actividad de influenza es baja, pero está aumentando en la subregión. Predominó influenza A(H3N2) con circulación concurrente de influenza A(H1N1)pdm09 e influenza B/Victoria. La actividad de SARS-CoV-2 fue baja en general y la circulación del VRS siguió en aumento. En [Canadá](#), la influenza se ubicó en los niveles basales, con mayor actividad, y en [México](#), la influenza se situó en niveles de intensidad moderada. En los [Estados Unidos](#) aumentó la actividad de la influenza, con predominio de A(H3N2).

Caribe: la actividad de la influenza se mantuvo baja en toda la subregión con predominio del virus A(H3N2). La actividad de la influenza está aumentando en [Jamaica](#) y [Puerto Rico](#). En [Dominica](#) la actividad del SARS-CoV-2 estuvo elevada .

América Central: la actividad de la influenza se mantuvo baja pero aumentó con el predominio de influenza A(H3N2) y la circulación concurrente de influenza B (linaje indeterminado). La actividad del SARS-CoV-2 se mantuvo baja en la subregión en general. La actividad de la influenza aumentó en [Guatemala](#) con predominio de A(H3N2), y en [Nicaragua](#) aumentó con la circulación de influenza B (linaje indeterminado). Se incrementó la actividad del VRS en [Costa Rica](#) y [El Salvador](#).

Países Andinos: la actividad de la influenza se mantuvo baja, con predominio de influenza A(H3N2) y circulación concurrente de influenza B/Victoria. En general, la actividad de SARS-CoV-2 y del VRS estuvo baja en la subregión. Sin embargo, [Bolivia](#) notificó un aumento de la actividad de la influenza con la circulación conjunta de A(H3N2) y B/Victoria.

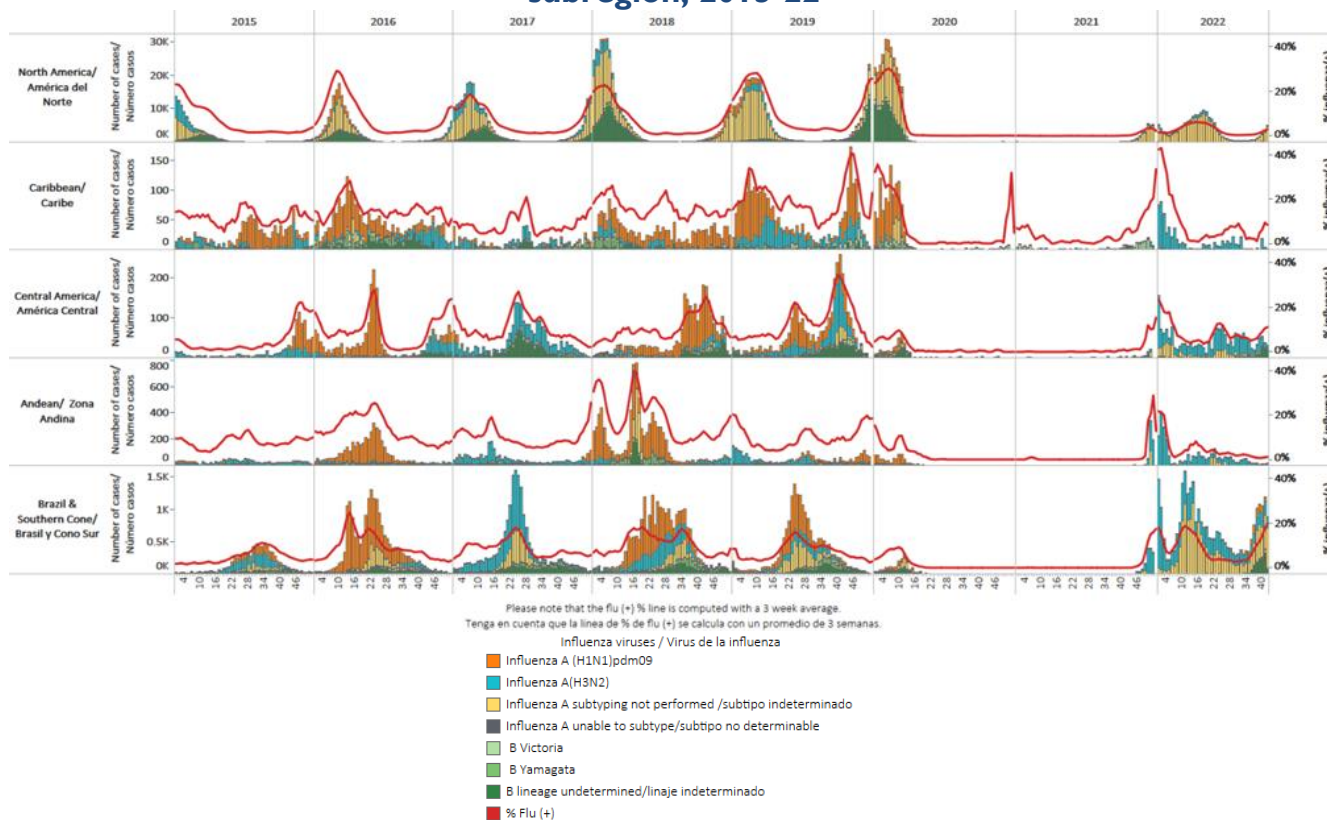
Brasil y Cono Sur: la actividad de la influenza aumentó en la subregión, con predominio de influenza A(H3N2) y circulación concurrente de influenza A(H1N1)pdm09 e influenza B/Victoria. La actividad del SARS-CoV-2 se ha mantenido baja en general. [Argentina](#), [Chile](#) y [Uruguay](#) registraron un aumento de la actividad de la influenza, mientras que la actividad del VRS continúa alta en [Brasil](#) y [Uruguay](#).





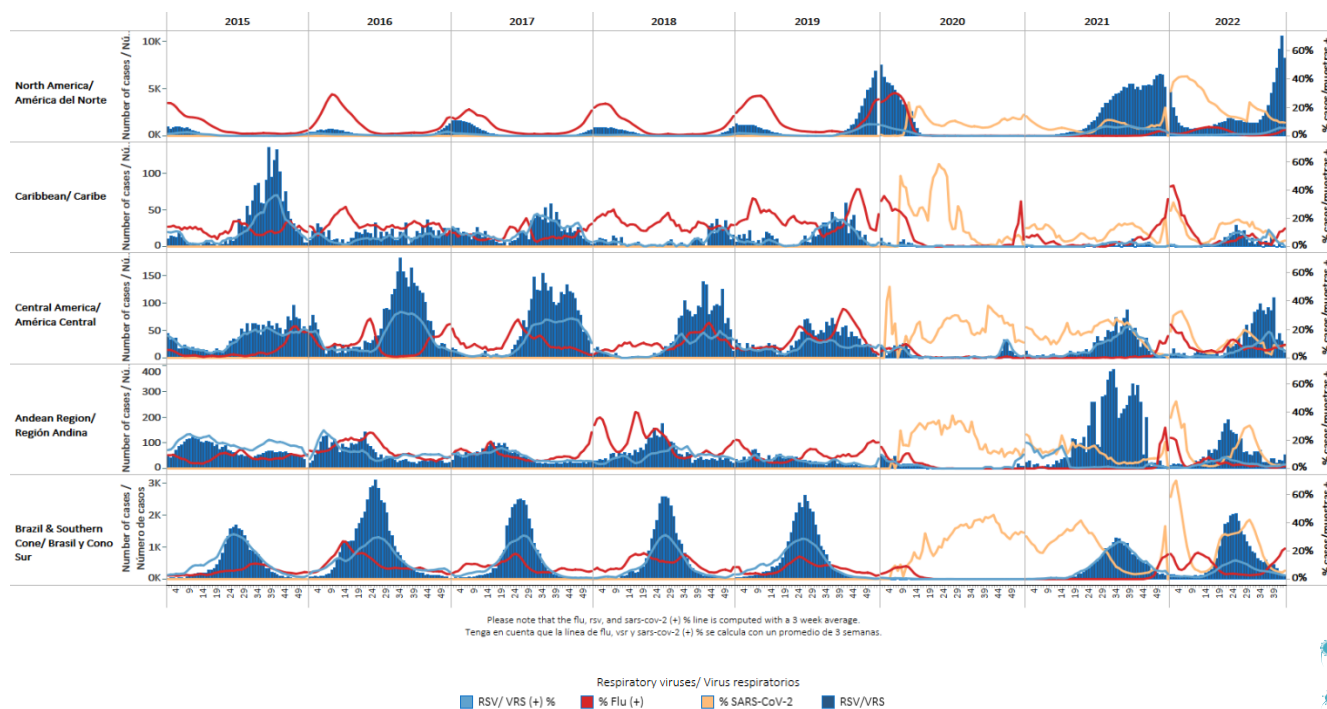
REGIONAL SUMMARY / RESUMEN REGIONAL

Influenza circulation by subregion, 2015-22 / Circulación virus influenza por subregión, 2015-22



Respiratory syncytial virus (RSV) circulation by Subregion, 2015-22

Circulación virus respiratorio sincitial (VRS) por subregión, 2015-22

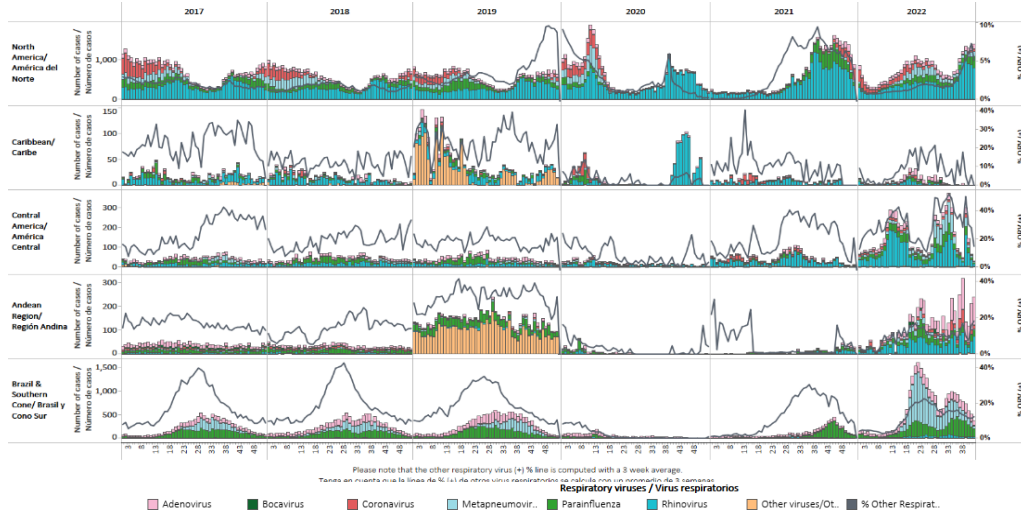




REGIONAL SUMMARY / RESUMEN REGIONAL

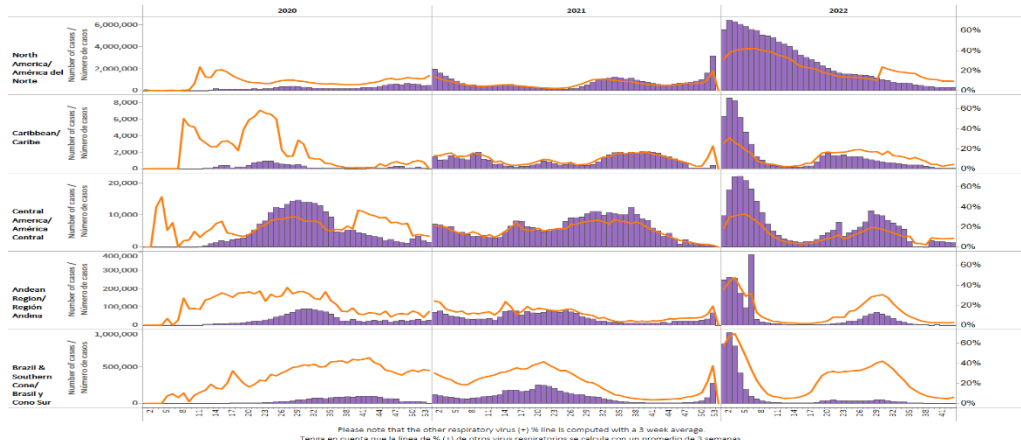
Other respiratory viruses (ORV) circulation by subregion, 2017-22

Circulación de otros virus respiratorios (OVR) por subregión, 2017-22



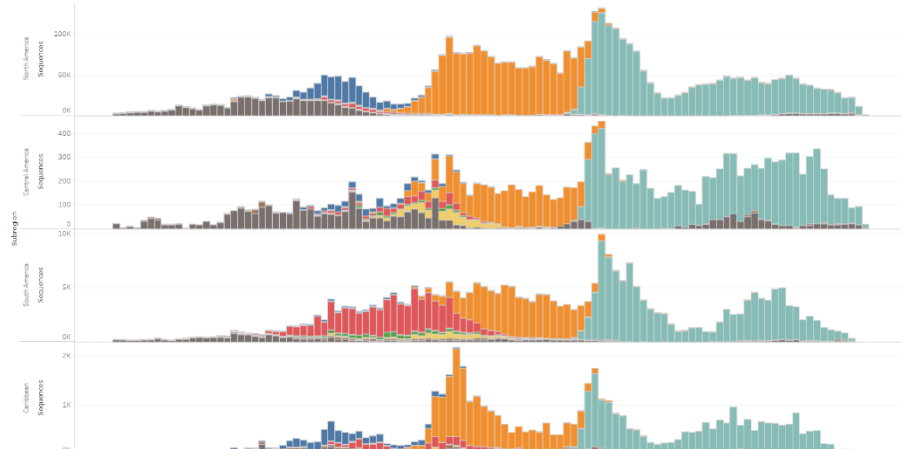
SARS-CoV-2 circulation by Subregion, 2020 – 2022

Circulación de SARS-CoV-2 por subregión, 2020 – 2022



SARS-CoV-2 Variants of Concern by Subregion, September 2020 – October 2022

Variantes de preocupación del SARS-CoV-2 por subregión, septiembre de 2020 – octubre de 2022





EPIDEMIOLOGIC AND VIROLOGIC UPDATE OF INFLUENZA &
OTHER RESPIRATORY VIRUSES BY COUNTRY
ACTUALIZACIÓN EPIDEMIOLÓGICA Y VIROLÓGICA DE LA
INFLUENZA Y OTROS VIRUS RESPIRATORIOS POR PAÍS





SUBREGION
NORTH AMERICA / AMÉRICA DEL NORTE

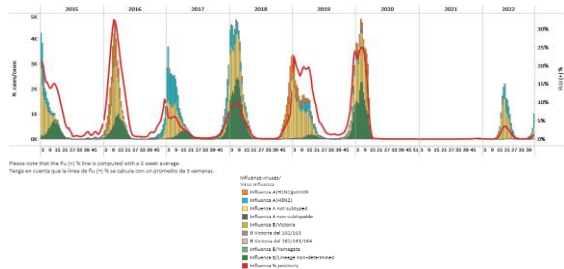




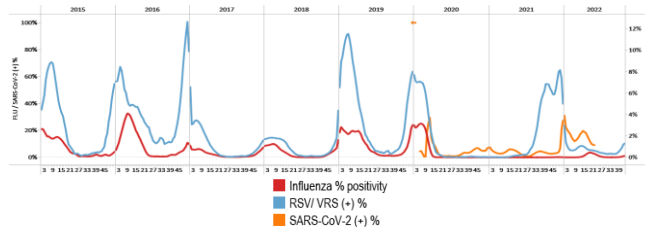
Canada / Canadá

During EW 43, influenza A(H3N2) detections predominated, followed by some influenza A(H1N1)pdm09 (where subtyping was performed) and influenza B viruses (lineage undetermined). Influenza activity increased at the average of previous seasons but remained at baseline levels (Graphs 1, 2, and 3). Among influenza cases with recorded age, 54% were in children and teenagers (0-19). Respiratory syncytial virus activity increased, with higher detections than the previous week, above expected levels for this time of year (Graph 2). Some rhinovirus, parainfluenza, metapneumovirus, and adenovirus detections were also registered, with activity relatively stable and near expected levels for this time of year (Graph 4). The percentage of visits to healthcare professionals due to ILI (1.6%) increased compared to the previous week and was within the expected levels (Graph 5). The COVID-19 weekly rate decreased among all age groups (Graph 6); however, the distribution of COVID-19 patients by sex remained unchanged, with 54.5% of cases in women and 35.0% being 20-39 years old. / Durante la SE 43 predominaron las detecciones de influenza A(H3N2), seguidas de algunos virus influenza A(H1N1)pdm09 (en muestras con subtipo determinado) e influenza B (linaje indeterminado). La actividad de la influenza aumentó al promedio de las temporadas anteriores, pero se mantuvo en los niveles basales (Gráficos 1, 2 y 3). De los casos de influenza con edad registrada, el 54 % fueron niños y adolescentes (0-19). La actividad del virus respiratorio sincitial aumentó, con detecciones superiores a la semana anterior, por encima de los niveles esperados para esta época del año (Gráfico 2). También se registraron algunas detecciones de rinovirus, parainfluenza, metapneumovirus y adenovirus, con actividad relativamente estable y cerca de los niveles esperados para esta época del año (Gráfico 4). El porcentaje de visitas por ETI a profesionales de la salud (1,6 %) aumentó respecto a la semana anterior y se ubicó dentro de los niveles esperados (Gráfico 5). La tasa semanal de la COVID-19 disminuyó en todos los grupos de edad (Gráfico 6); sin embargo, la distribución de pacientes con la COVID-19 por sexo se mantuvo sin cambios, con un 54,5 % de casos en mujeres y un 35 % en aquellas entre los 20 y 39 años.

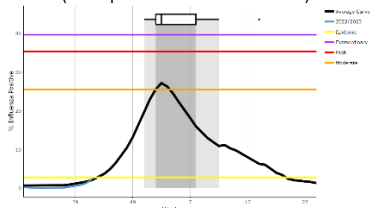
Graph 1. Canada: Influenza virus distribution, EW 43, 2015-22
Distribución de virus de influenza, SE 43, 2015-22



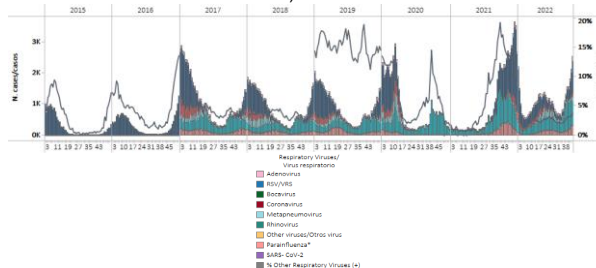
Graph 2. Canada: Influenza, RSV, and SARS-CoV-2 distribution EW 43, 2015-22
Distribución de los virus influenza, VRS y SARS-CoV-2, SE 43 2015-22



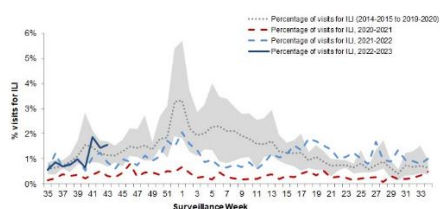
Graph 3. Canada: Percent positivity for influenza, EW 43, 2022 (compared to 2010-21)
Porcentaje de positividad de influenza, SE 43 de 2022 (comparado con 2010-21)



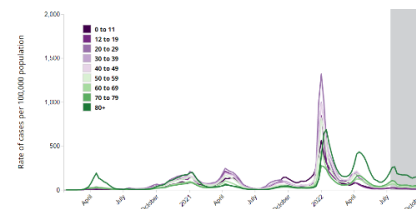
Graph 4. Canada: RSV, SARS-CoV-2, and other respiratory viruses distribution, EW 43 2015-22
Distribución del VRS, SARS-CoV-2 y otros virus respiratorios, SE 43, 2015-22



Graph 5. Canada: Percentage of ILI visits by sentinel sites, EW 35, 2022 – EW 43, 2022
Porcentaje de casos de ETI por sitio centinela, SE 35 de 2022 a SE 43 de 2022



Graph 6. Canada: Weekly rate of COVID-19 cases per 100 000 population by age group as of October 29, 2022
Tasa semanal de casos de la COVID-19 por 100 000 habitantes por grupo de edad al 29 de octubre de 2022



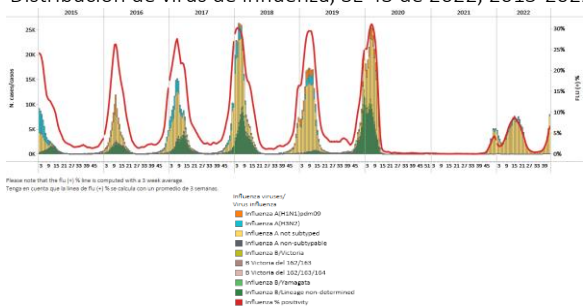


United States / Estados Unidos

As of EW 43, influenza A(H3N2) predominated. Influenza A(H1N1)pdm09 and influenza B (lineage undetermined) were co-circulated. Influenza activity increased in most areas of the country above the average of previous seasons at low-intensity levels (Graphs 1, 2, and 3). Respiratory syncytial virus activity continued to increase with the highest RSV-associated hospitalization rate among those 0-5 months with 124.2 per 100 000 population. In contrast, SARS-CoV-2 percent positivity (9.4%) decreased compared to the previously registered (Graph 2). Influenza-like illness (ILI) increased, with 4.3% of outpatient visits for ILI, above the national baseline (Graph 4). The jurisdictions that reported the highest ILI activity were Alabama, the District of Columbia, South Carolina, and Tennessee (Graph 5). Laboratory-confirmed COVID-19-associated hospitalizations have decreased, with a - 6.6% percent change from EW 42 (Graph 6). / En la SE 43 predominó influenza A(H3N2). Circularon concurrentemente influenza A(H1N1)pdm09 e influenza B (linaje indeterminado). La actividad de la influenza aumentó en la mayoría de las zonas del país por encima del promedio de temporadas anteriores en niveles de baja intensidad (Gráficos 1, 2 y 3). La actividad del virus respiratorio sincitial siguió aumentando con la tasa de hospitalización asociada al VRS más alta en los niños de 0 a 5 meses con 124,2 por 100 000 habitantes. En cambio, el porcentaje de positividad al SARS-CoV-2 (9,4 %) disminuyó respecto al registrado anteriormente (Gráfico 2). La enfermedad tipo influenza (ETI) aumentó, con un 4,3 % de visitas ambulatorias por ETI, por encima de la línea de base nacional (Gráfico 4). Las jurisdicciones que reportaron la mayor actividad de ETI fueron Alabama, el Distrito de Columbia, Carolina del Sur y Tennessee (Gráfico 5). Las hospitalizaciones asociadas a la COVID-19 confirmadas por laboratorio han disminuido, con un cambio porcentual de -6,6 % con respecto a la SE 42 (Gráfico 6).

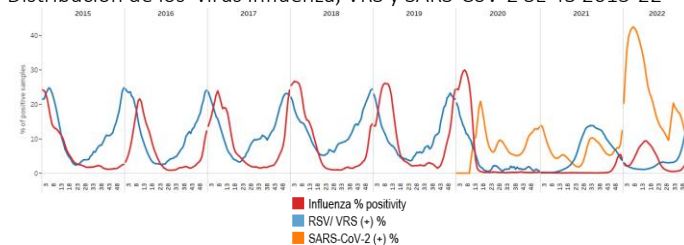
Graph 1. USA: Influenza virus distribution, EW 43 2022, 2015-2022

Distribución de virus de influenza, SE 43 de 2022, 2015-2022



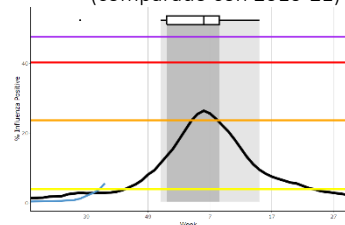
Graph 2. USA: Influenza, RSV, and SARS-CoV-2 distribution EW 43 2022, 2015-22

Distribución de los virus influenza, VRS y SARS-CoV-2 SE 43 2015-22



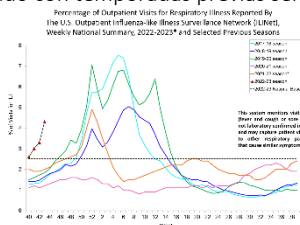
Graph 3. USA: Percent positivity for influenza, EW 43 2022 (compared to 2010-21)

Porcentaje de positividad de influenza, SE 43 de 2022 (comparado con 2010-21)



Graph 4. USA: Percentage of visits for ILI, EW 43 2022 compared to selected previous seasons

Porcentaje de visitas por ETI, SE 43, 2022 comparado con temporadas previas seleccionadas



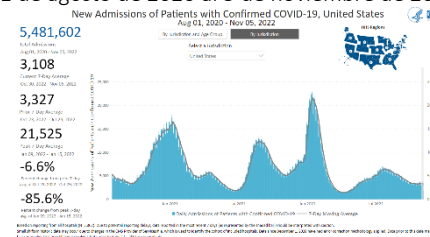
Graph 5. USA: ILI activity level indicator by state, EW 43, 2021-2022

Indicador de nivel de actividad de la ETI por estado, SE 43, 2021-2022



Graph 6. USA: New hospital admissions of patients with confirmed COVID-19, August 1, 2020 – November 5, 2022

Nuevos ingresos hospitalarios de pacientes con COVID-19 confirmado, 1 de agosto de 2020 al 5 de noviembre de 2022

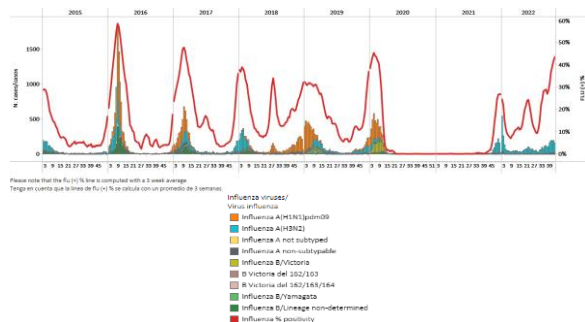




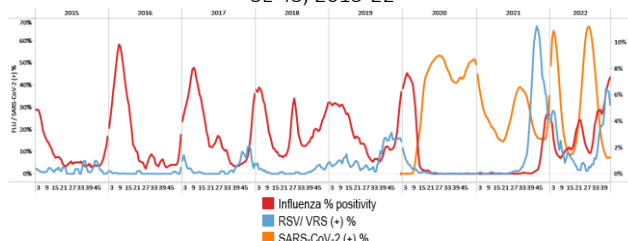
Mexico / México

In EW 43, a predominance of influenza A(H3N2) detections followed by influenza A(H1N1)pdm09 (where subtyping was performed) and B/Victoria were reported. Influenza activity continued to increase at moderate-intensity levels for this time of year (Graphs 1 and 3). Nuevo Leon and Queretaro jurisdictions reported most influenza cases at sentinel sites. In addition, RSV detections were recorded, with elevated activity but decreasing. RSV cases were recorded mainly in Campeche and Mexico State. Besides, SARS-CoV-2 percent positivity (8.2%) stayed at similar levels than the previous week (Graphs 2 and 4), with higher detections occurring in Yucatan, Mexico City, and Baja California. SARI cases remained stable above the average of previous seasons at low-intensity levels for this time of year (Graph 5). Among 1076 sampled SARI cases, 4.9% tested positive for SARS-CoV-2, followed by 2.8%, which tested positive for influenza. Influenza-like illness (ILI) cases decreased slightly at low-intensity levels above the average of previous seasons (Graph 6). Of 7313 sampled ILI cases, 5.5% tested positive for SARS-CoV-2, and most cases occurred in persons 20-34 years. Influenza cases (1.7%) occurred mainly among persons aged 20-29. Forty-seven SARI-associated deaths were registered, with 53.2% occurring among those aged 65 and older. / En la SE 43 se reportó un predominio de detecciones de influenza A(H3N2) seguido de influenza A(H1N1)pdm09 (muestras con subtipo determinado) y B/Victoria. La actividad de la influenza continuó aumentando y ubicándose en niveles de intensidad moderada para esta época del año (Gráficos 1 y 3). Las jurisdicciones de Nuevo León y Querétaro reportaron la mayoría de los casos de influenza en los sitios centinela. Además, se registraron detecciones de VRS, con actividad elevada pero en disminución. Los casos de VRS se registraron principalmente en Campeche y en el Estado de México. Además, el porcentaje de positividad del SARS-CoV-2 (8,2 %) se mantuvo en niveles similares a la semana anterior (Gráficos 2 y 4), con detecciones más altas en Yucatán, Ciudad de México y Baja California. Los casos de IRAG se mantuvieron estables por encima del promedio de temporadas anteriores en niveles de baja intensidad para esta época del año (Gráfico 5). De 1076 casos de SARI muestreados, el 4,9 % resultó positivo para SARS-CoV-2, seguido del 2,8 %, que fue positivo para influenza. Los casos de enfermedad tipo influenza (ETI) disminuyeron levemente con una actividad en niveles de baja intensidad por encima del promedio de temporadas anteriores (Gráfico 6). De 7313 casos de ETI con muestra, el 5,5 % resultó positivo para SARS-CoV-2, y la mayoría de los casos ocurrieron en personas de 20 a 34 años. Los casos de influenza (1,7 %) ocurrieron principalmente en personas de 20 a 29 años. Se registraron 47 muertes asociadas a la IRAG, de las cuales el 53,2 % ocurrieron en personas de 65 años o más.

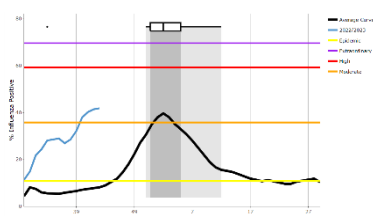
Graph 1. Mexico: Influenza virus distribution, EW 43, 2015-22
Distribución deL virus influenza, SE 43, 2015-22



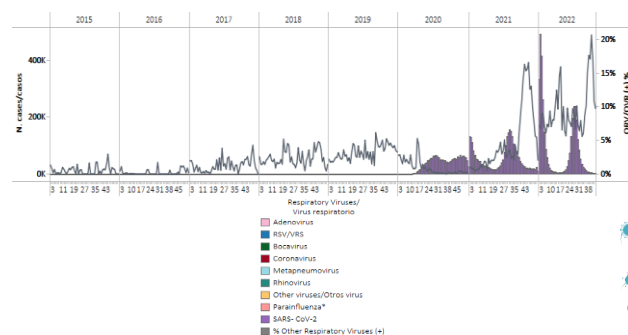
Graph 2. Mexico: Influenza, RSV, and SARS-CoV-2 distribution EW 43, 2015-22
Distribución de los virus influenza, VRS y SARS-CoV-2, SE 43, 2015-22



Graph 3. Mexico: Percent positivity for influenza, EW 43, 2022 (compared to 2010-21)
Porcentaje de positividad de influenza, SE 43 de 2022 (comparado con 2010-21)



Graph 4. Mexico: RSV, SARS-CoV-2, and other respiratory viruses distribution, EW 43 2015-22
Distribución del VRS, SARS-CoV-2 y otros virus respiratorios, SE 43, 2015-22



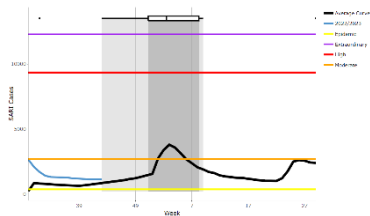
Graph 5. Mexico: Number of SARI cases, EW 43, 2022

Graph 6. Mexico: Number of ILI cases, EW 43, 2022

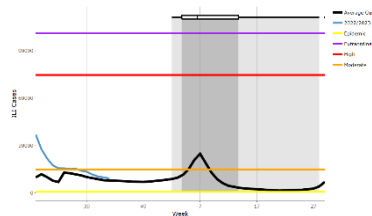




(compared to 2015-21)
 Número de casos de IRAG, SE 43 de 2022
 (comparado con 2015-21)



(compared to 2015-21)
 Número de casos de ETI, SE 43 de 2022
 (comparado con 2015-21)



1

2

3

4

5

6

7





**SUBREGION
CARIBBEAN / CARIBE**



© OpenStreetMap

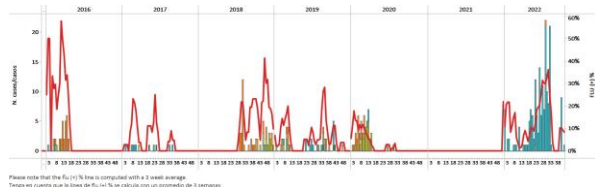




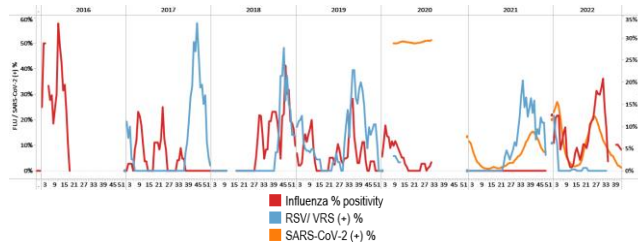
Belize / Belice

In EW 42, minimal influenza A(H3N2) detections were recorded nationally (Graph 1). Influenza activity remained stable below the average of previous years at low-intensity levels (Graph 3). No respiratory syncytial viruses were reported and no samples were analyzed for SARS-CoV-2 (Graphs 2 and 4). / En la SE 42 se registraron detecciones mínimas de influenza A(H3N2) a nivel nacional (Gráfico 1). La actividad de la influenza permaneció estable por debajo del promedio de años anteriores y se ubicó en los niveles de baja intensidad (Gráfico 3). No se reportó la detección de virus respiratorio sincitial y no se analizaron muestras para SARS-CoV-2 (Gráficos 2 y 4).

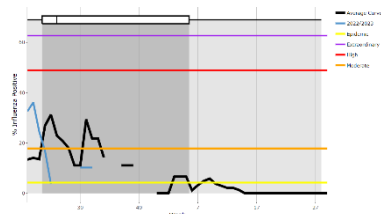
Graph 1. Belize. Influenza virus distribution, EW 42, 2016-22
 Distribución de virus influenza SE 42, 2016-22



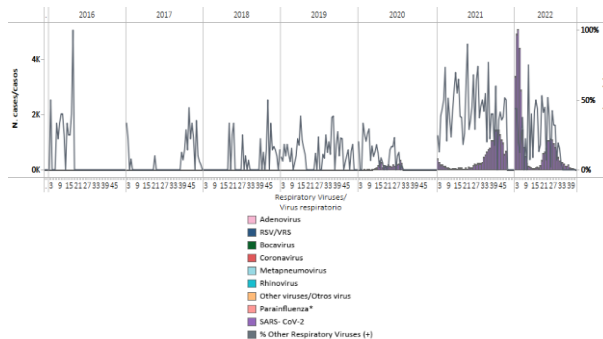
Graph 2. Belize: Influenza, RSV, and SARS-CoV-2 distribution, EW 42, 2016-22
 Distribución de virus influenza, VRS y SARS-CoV-2, SE 42, 2016-22



Graph 3. Belize: Percent positivity for influenza, EW 42, 2022 (compared to 2016-21)
 Porcentaje de positividad de influenza, SE 42 de 2022 (comparado con 2016-21)



Graph 4. Belize: RSV, SARS-CoV-2, and other respiratory viruses distribution, EW 42, 2016-22
 Distribución de VRS, SARS-CoV-2 y otros virus respiratorios, SE 42, 2016-22

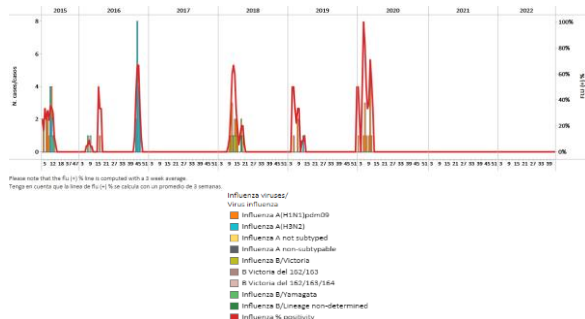




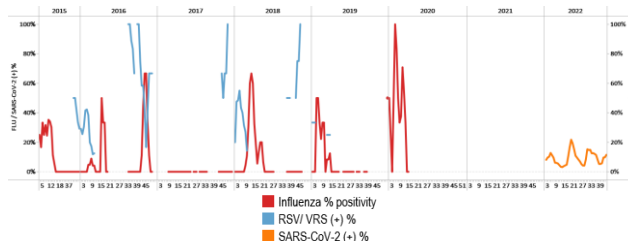
Dominica

During EW 43, no samples were analyzed for influenza or RSV (Graphs 1 and 2). As of EW 43, 45 samples were analyzed for SARS-CoV-2 with 8.9% positivity, an increase compared to the previously reported (Graphs 2 and 3). No SARI cases have been recorded; as a result, severe acute respiratory infection activity is at baseline levels (Graph 4). / Durante la SE 43 no se analizaron muestras para influenza ni para VRS (Gráficos 1 y 2). En la SE 43 se analizaron 45 muestras para SARS-CoV-2 con un 8.9 % de positividad, un aumento en comparación el reportado previamente (Gráficos 2 y 3). No se han registrado casos de IRAG; como resultado, la actividad de la infección respiratoria aguda grave se encuentra en niveles basales (Gráfico 4).

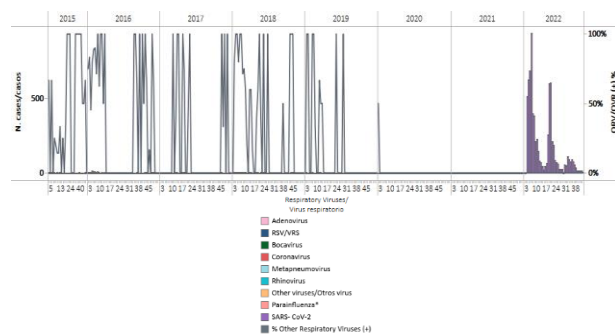
Graph 1. Dominica. Influenza virus distribution, EW 43, 2015-22
Distribución de virus influenza, SE 43, 2015-22



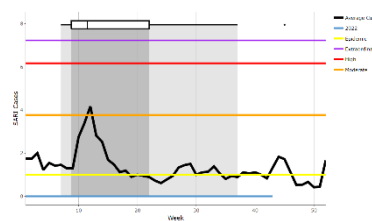
Graph 2. Dominica: Influenza, RSV, and SARS-CoV-2 distribution, EW 43, 2015-22
Distribución de virus influenza, VRS y SARS-CoV-2, SE 43, 2015-22



Graph 3. Dominica: RSV, SARS-CoV-2, and other respiratory viruses distribution, EW 43, 2015-22
Distribución de VRS, SARS-CoV-2 y otros virus respiratorios, SE 43, 2015-22



Graph 4. Dominica: Number of SARI cases, EW 43, 2022 (compared to 2010-21)
Número de casos de IRAG, SE 43 de 2022 (comparado con 2010-21)

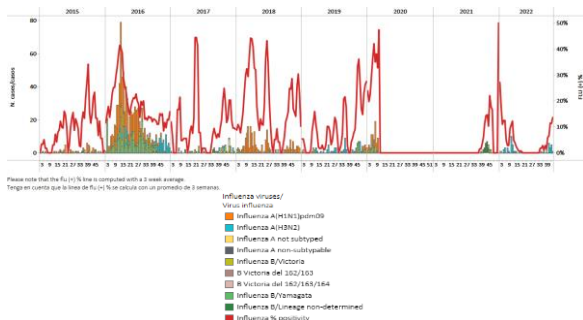




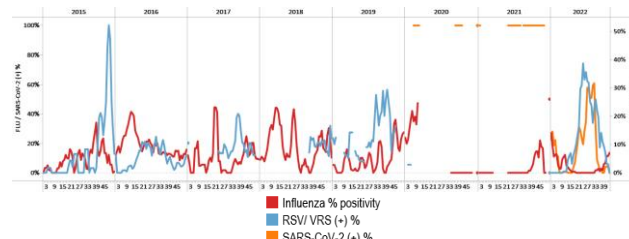
Dominican Republic / República Dominicana

During EW 43, minimal influenza A(H3N2) detections were reported. Influenza activity remained at baseline levels and increased (Graphs 1, 2, and 3). No respiratory syncytial virus detections were registered (Graph 2). Seven samples were analyzed for SARS-CoV-2, and none tested positive (Graph 4). In EW 42, SARI cases / 100 inpatients increased and remained below the seasonal threshold (Graph 5). / Durante la SE 43, se reportaron detecciones mínimas de influenza A(H3N2). La actividad de la influenza aumentó y se mantuvo en los niveles basales (Gráficos 1, 2 y 3). No se registraron detecciones de virus respiratorio sincitial (Gráfico 2). Se analizaron siete muestras para SARS-CoV-2 y ninguna resultó positiva (Gráfico 4). En la SE 42, el número de casos de IRAG por cada 100 hospitalizados aumentó y se mantuvo por debajo del umbral estacional (Gráfico 5).

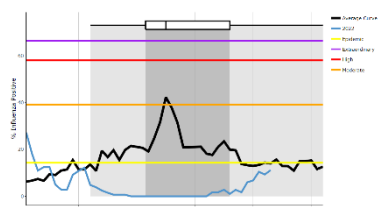
Graph 1. Dominican Republic: Influenza virus distribution, EW 43, 2015-22
 Distribución del virus influenza, SE 43, 2015-22



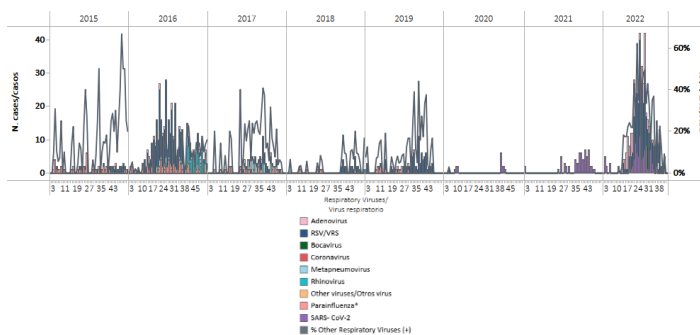
Graph 2. Dominican Republic: Influenza, RSV, and SARS-CoV-2 distribution, EW 43, 2015-22
 Distribución de los virus influenza, VRS y SARS-CoV-2,



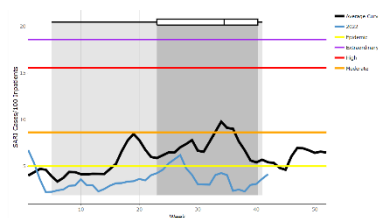
Graph 3. Dominican Republic: Percent positivity for influenza, EW 43, 2022 (compared to 2010-21)
 Porcentaje de positividad de influenza, SE 43 de 2022 (comparado con 2010-21)



Graph 4. Dominican Republic: RSV, SARS-CoV-2, and other respiratory viruses distribution, EW 43, 2015-22
 Distribución de VRS, SARS-CoV-2 y otros virus respiratorios, SE 43, 2015-22



Graph 5. Dominican Republic: SARI cases/100 hospitalizations, EW 42, 2022 (compared to 2018-21)
 Casos de IRAG por cada 100 hospitalizados, SE 42 de 2022 (comparado con 2018-21)

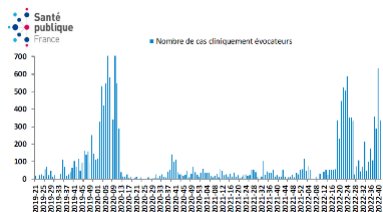




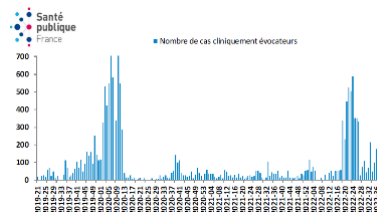
French Territories / Territorios franceses

Guadeloupe: In EW 41, overall, the number of ILI consultations increased compared to the previous month (Graph 1). The SARS-CoV-2 incidence rate (85/100 000 Pop.) and the screening rate (789/100 000 Pop.) declined compared to the previously recorded. **Martinique:** The number of ILI consultations has decreased to 877 vs. 1085 in EW 40. However, after EW 33, ILI consultations have remained increased (Graph 2). During EWs 29-41, virologic hospital surveillance detected only influenza A (subtype undetermined). The COVID-19 incidence rate declined compared to the previous week (124/100 000 vs. 132 in EW 40); the screening rate decreased (851 vs. 926). **French Guiana:** In EW 42, the ARI consultation rate was 146/100 000 Pop., remaining stable compared with last week's rate of 142/100 000 Pop. (Graph 3). Similarly, the COVID-19 adjusted incidence rate (22/100 000 Pop.) and the screening rate (308/100 000 Pop.) remained stable compared to the rates reported in the previous week. RSV activity has increased during the last three weeks. **Saint-Martin:** The number of SARS-CoV-2 remained stable compared with the last week (17); likewise, the screening rate was similar to the previous week (760/100 000) in EW 41. There were no ARI consultations registered this week. **Saint-Barthelemy:** During EW 41, the number of SARS-CoV-2 cases remained similar to EW 40 (10 vs. 11). The screening rate decreased to 1146/100 000 Pop. (1363 in EW 40). No ARI consultations were registered. / **Guadalupe:** en la SE 41, en general, el número de consultas por ETI aumentó en comparación con el mes anterior (Gráfico 1). La tasa de incidencia de SARS-CoV-2 (85/100 000 hab.) y la tasa de despistaje (789/100 000 hab.) disminuyeron en comparación con la registrada previamente. **Martinica:** el número de consultas por ETI ha disminuido a 877 vs. 1085 en la SE 40 (Gráfico 2). Sin embargo, después de la SE 33, el número de consultas por ETI ha permanecido elevado. En las SE 29-41, la vigilancia virológica en hospitales solo detectó influenza A (subtipo indeterminado). La tasa de incidencia de la COVID-19 disminuyó con respecto a la semana anterior (124/100 000 vs. 132 en la SE 40); la tasa de despistaje disminuyó (851 versus 926). **Guayana Francesa:** en la SE 42, la tasa de consulta de IRA fue de 146/100 000 hab., manteniéndose estable en comparación con la tasa de la semana pasada de 142/100 000 hab. (Gráfico 3). Asimismo, la tasa de incidencia ajustada de COVID-19 (22/100 000 hab.) y la tasa de despistaje (308/100 000 hab.) se mantuvieron estables en comparación con las tasas reportadas la semana previa. La actividad del VRS ha aumentado durante las últimas tres semanas. **San Martín:** el número de casos de SARS-CoV-2 se mantuvo estable en comparación con la semana pasada (17); asimismo, la tasa de tamizaje fue similar a la semana anterior (760/100 000) en la SE 41. No se registraron consultas de IRA esta semana. **San Bartolomé:** durante la SE 41, el número de casos de SARS-CoV-2 se mantuvo similar al de la SE 40 (10 vs. 11). La tasa de despistaje disminuyó a 1146/100 000 hab. (1363 en SE 40). No se registraron consultas de IRA.

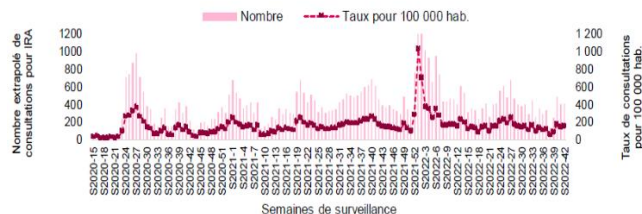
Graph 1. Guadeloupe: Estimated number of clinically suggestive cases of ILI, EWs 21-2021, to EW 41-2022
Número estimado de casos clínicamente sugestivos de ETI, SE 21 de 2021 a SE 41 de 2022



Graph 2. Martinique: Estimated number of clinically suggestive cases of ILI, EWs 21-2021, to EW 41-2022
Número estimado de casos clínicamente sugestivos de ETI, SE 21 de 2021 a SE 41 de 2022



Graph 3. French Guiana: Number and extrapolated rate of consultations for acute respiratory infections per 100000 population seen by general practitioners
Número y tasa extrapolada de consultas por infecciones respiratorias agudas por cada 100000 habitantes atendidas por médicos generales

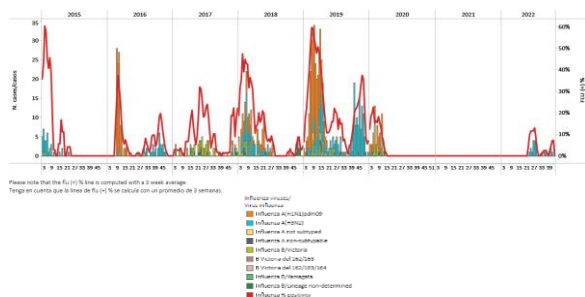




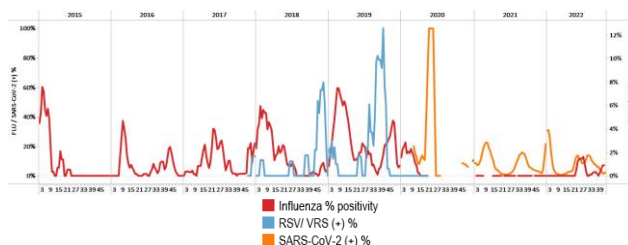
Jamaica

In EW 43, no influenza detections were recorded, with minimal influenza A(H3N2) detections last week. No RSV detections were recorded (Graphs 1 and 2). Influenza activity remained above the average of previous years and was at a low-intensity level (Graph 3). SARS-CoV-2 percent positivity (3.6%) increased slightly compared to the previous week (Graph 2). Severe acute respiratory infections / 100 hospitalizations remained stable at low-intensity levels (Graph 4); pneumonia cases increased at a moderate-intensity level (Graph 5). Kingston-St. Andrew, Westmoreland, and Clarendon reported most of the pneumonia cases. Acute respiratory infections remained stable at baseline levels (Graph 6). / En la SE 43, no se registraron detecciones de influenza, con mínimas detecciones de influenza A(H3N2) la semana pasada. No se registraron detecciones de VRS (Gráficos 1 y 2). La actividad de la influenza se mantuvo por encima del promedio de años anteriores y estuvo en un nivel de baja intensidad (Gráfico 3). El porcentaje de positividad del SARS-CoV-2 (3,6 %) aumentó ligeramente en comparación con la semana anterior (Gráfico 2). El número de infecciones respiratorias agudas graves por cada 100 hospitalizaciones se mantuvo estable en niveles de baja intensidad (Gráfico 4); los casos de neumonía aumentaron a un nivel de intensidad moderada (Gráfico 5). Kingston-St. Andrew, Westmoreland y Clarendon informaron la mayoría de los casos de neumonía. Las infecciones respiratorias agudas se mantuvieron estables en los niveles basales (Gráfico 6).

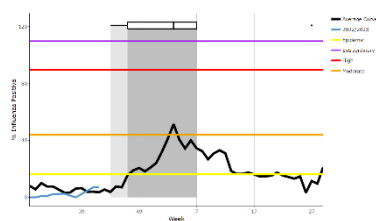
Graph 1. Jamaica: Influenza virus distribution
EW 43, 2015-22
Distribución de virus influenza SE 43, 2015-22



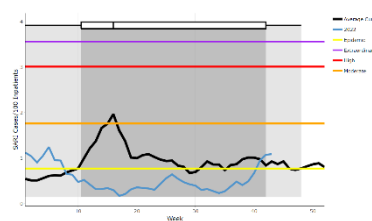
Graph 2. Jamaica: Influenza, RSV, and SARS-CoV-2 distribution,
EW 43, 2015-22
Distribución de los virus influenza, VRS y SARS-CoV-2, SE 43, 2015-22



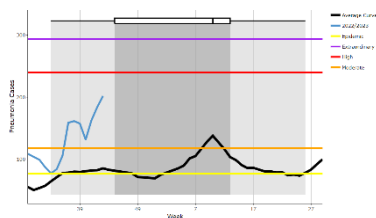
Graph 3. Jamaica: Percent positivity for influenza, EW 43, 2022
(compared to 2010-21)
Porcentaje de positividad de influenza, SE 43 de 2022
(comparado con 2010-21)



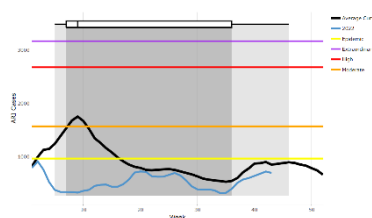
Graph 4. Jamaica: SARI cases/100 hospitalizations,
EW 43, 2022 (compared to 2011-21)
Casos de IRAG/100 hospitalizaciones, SE 43 de 2022
(comparado con 2011-21)



Graph 5. Jamaica: Number of pneumonia cases, EW 43, 2022
(compared to 2014-21)
Número de casos de neumonía, SE 43, 2022
(comparado con 2014-22)



Graph 6. Jamaica: Number of ARI cases, EW 43, 2022
(compared to 2011-21)
Número de casos de IRA, SE 43 de 2022
(comparado con 2011-21)

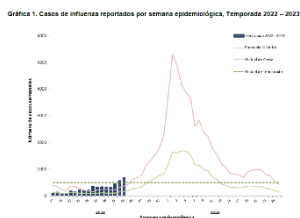




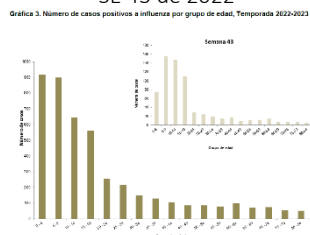
Puerto Rico

The number of influenza-positive cases (670) by rapid test increased compared to the previous week, above the average of prior years and above the seasonal threshold (Graph 1). Overall, influenza A (subtyping not performed) predominated. Among influenza cases, 25 were hospitalized, and 17 had a vaccination history against influenza. The Arecibo health region presented the highest case reporting rate. Most influenza cases occurred among persons under 20 years (Graph 2). During EWs 27, 2022, and 43, 2022, the Guayama, Sabana Grande, and Utuado municipalities registered the highest cumulative incidence of influenza, between 364.9 – 595.0 per-100 000 population (Graph 3). In addition, the COVID-19 incidence rate (200.0/100 000 pop.) has remained stable during recent weeks (Graph 4). / El número de casos positivos a influenza (670) por prueba rápida aumentó respecto a la semana anterior, por encima del promedio de años anteriores y por encima del umbral estacional (Gráfico 1). En general, predominó influenza A (subtipo indeterminado). De los casos de influenza, 25 fueron hospitalizados y 17 tenían antecedentes de vacunación contra la influenza. La región de salud de Arecibo presentó la tasa más alta de notificación de casos. La mayoría de los casos de influenza ocurrieron en personas menores de 20 años (Gráfico 2). De la SE 27 de 2022 a la 43 de 2022, los municipios de Guayama, Sabana Grande y Utuado registraron la mayor incidencia acumulada de influenza, entre 364,9 – 595,0 por 100 000 habitantes (Gráfico 3). Además, la tasa de incidencia de la COVID-19 (200,0/100 000 hab.) se ha mantenido estable durante las últimas semanas (Gráfico 4).

Graph 1. Puerto Rico: Influenza-positive cases EW 43, 2022-23
Casos positivos para influenza SE 43, 2022-23



Graph 2. Puerto Rico: Number of cases positive for influenza by age group, EW 43, 2022
Número de casos positivos para influenza por grupo de edad, SE 43 de 2022



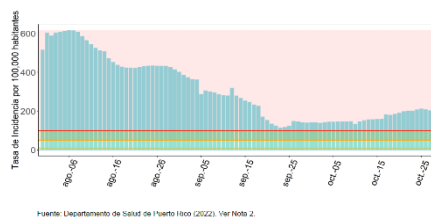
Graph 3. Puerto Rico: Influenza cumulative incidence rate per 100,000 population by municipality of residence, EW 27, 2022 - 43, 2022
Tasa de incidencia acumulada de influenza por 100.000 habitantes por municipio de residencia, SE 27 de 2022 - 43 de 2022

Gráfica 2. Mapa de tasas de incidencia acumulada de influenza por municipio, semanas 27, 2022-43, 2022



Tasa de incidencia por cada 100,000 habitantes
12.6 - 81.6 81.7 - 136.7 136.8 - 216.6 216.7 - 364.8 364.9 - 595.0

Graph 4. Puerto Rico: COVID-19 incidence rate per 100 000 population, 31 July 2022 – 29 October 2022
Tasa de incidencia de la COVID-19 por 100 000 habitantes, del 31 de julio al 29 de octubre de 2022



Fuente: Departamento de Salud de Puerto Rico (2022). Ver Nota 2.



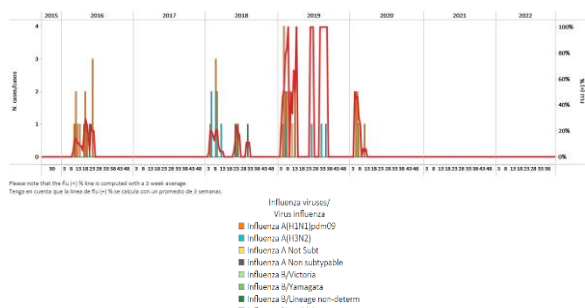


Saint Lucia / Santa Lucía

During EW 43, no samples were analyzed for influenza or respiratory syncytial virus (Graphs 1, 2, and 3). Of 469 samples analyzed for SARS-CoV-2, 21 (4.5%) tested positive. Overall, the number of influenza-like illness (ILI) cases among children under five years and persons five years and older have fluctuated throughout the year, remaining below the average of prior years, except in EW 17, where ILI cases among persons five and older exceeded the alert threshold (Graphs 4 and 5). Severe acute respiratory infection cases / 100 hospitalizations remained at baseline levels (Graph 6). The age groups most affected are 1-4-year-olds and 6-11 months, accounting for 52.6% and 15.8% of all SARI admissions. In 2022, 0.6% of hospital medical admissions corresponded to SARI cases. / Durante la SE 43 no se analizaron muestras para influenza ni virus respiratorio sincitial (Gráficos 1, 2 y 3). De 469 muestras analizadas para SARS-CoV-2, 21 (4,5%) resultaron positivas. En general, el número de casos de enfermedad tipo influenza (ETI) en niños menores de cinco años y personas mayores de cinco años ha fluctuado a lo largo del año, manteniéndose por debajo del promedio de años anteriores, excepto en la SE 17, en donde los casos de ETI en personas de cinco y mayores, superó el umbral de alerta (Gráficos 4 y 5). El número de casos de infección respiratoria aguda grave por cada 100 hospitalizaciones se mantuvo en niveles basales (Gráfico 6). Los grupos de edad más afectados son los de 1 a 4 años y de 6 a 11 meses, que representan el 52,6 % y el 15,8 % de todos los ingresos por IRAG. En 2022, el 0,6 % de los ingresos médicos hospitalarios correspondieron a casos de IRAG.

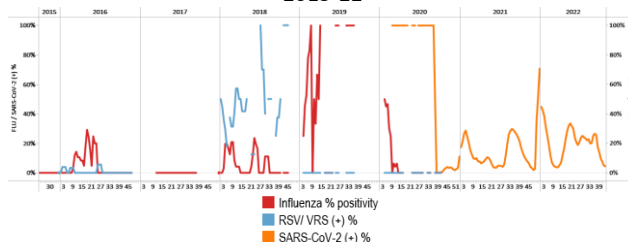
Graph 1. Saint Lucia: Influenza virus distribution, EW 43, 2015-22

Distribución del virus de la influenza, SE 43, 2015-22



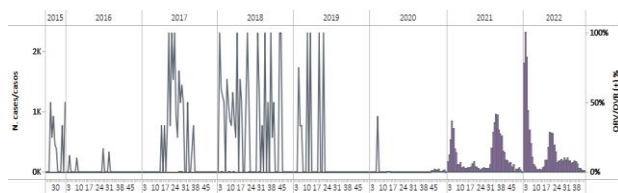
Graph 2. Saint Lucia: Influenza, RSV, and SARS-CoV-2 virus distribution, EW 43, 2015-22

Distribución de los virus influenza, VRS y SARS-CoV-2, SE 43, 2015-22



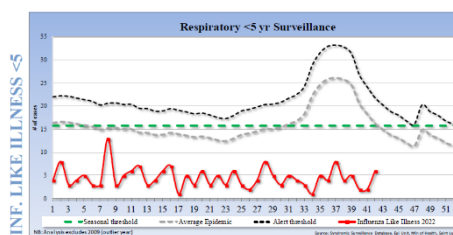
Graph 3. Saint Lucia: RSV, SARS-CoV-2, and other respiratory viruses distribution, EW 43, 2015-22

Distribución del VRS, SARS-CoV-2 y otros virus respiratorios, SE 43, 2015-22



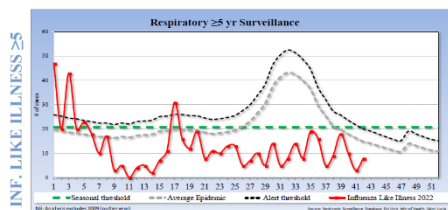
Graph 4. Saint Lucia: ILI case distribution among the < 5 years of age, EW 43, 2022 (compared to 2016-21)

Distribución de ETI entre los <5 años, SE 43, 2022 (comparado con 2016-21)



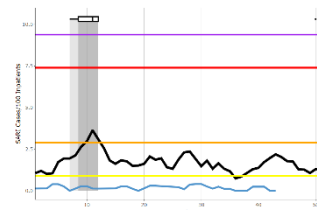
Graph 5. Saint Lucia: ILI case distribution among the ≥ 5 years of age, EW 43, 2022 (compared to 2016-21)

Número de casos de ETI en los ≥ 5 años, SE 43, 2022 (comparado con 2016-21)



Graph 6. Saint Lucia: SARI cases/100 hospitalizations, EW 43, 2022 (compared to 2016-21)

Casos de IRAG por cada 100 hospitalizaciones, SE 43 de 2022 (comparado con 2016-21)

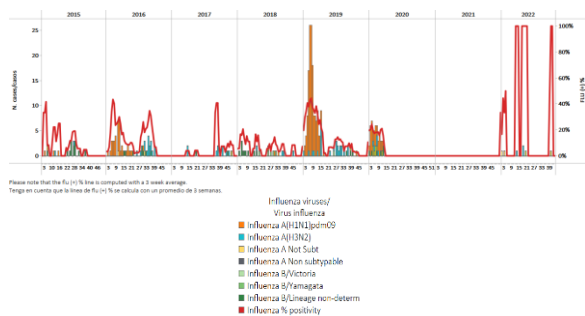




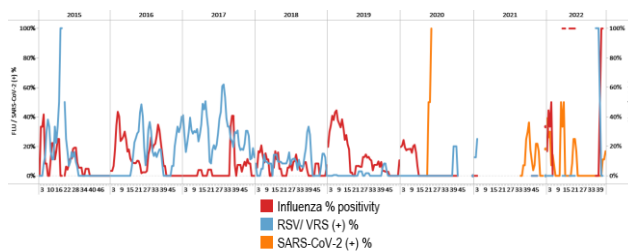
Suriname

During EW 43, 2022, no samples were analyzed for influenza or RSV. Influenza A(H3N2) circulated in previous months. One sample was analyzed for SARS-CoV-2 testing negative (Graphs 1, 2, and 3). SARI cases / 100 hospitalizations increased above the average of previous years at a low-intensity level for this time of year (Graph 4). SARI cases occurred in children less than five years. / Durante la SE 43 de 2022, no se analizaron muestras para influenza o VRS. Influenza A(H3N2) circuló en meses anteriores. Se analizó una muestra para SARS-CoV-2 con resultado negativo (Gráficos 1, 2 y 3). El número de casos de IRAG por cada 100 hospitalizaciones aumentó por encima del promedio de años anteriores ubicándose en un nivel de baja intensidad para esta época del año (Gráfico 4). Los casos de IRAG ocurrieron en niños menores de cinco años.

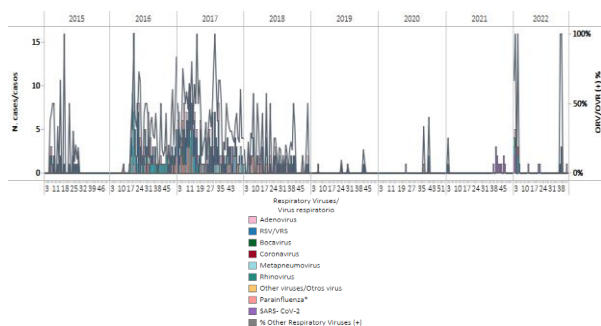
Graph 1. Suriname: Influenza virus distribution, EW 43, 2015-22
Distribución de virus influenza, SE 43 2015-22



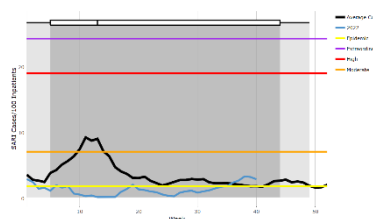
Graph 2. Suriname: Influenza, RSV, and SARS-CoV-2 distribution, EW 43, 2015-22
Distribución de los virus influenza, VRS y SARS-CoV-2, SE 43, 2015 -22



Graph 3. Suriname: RSV, SARS-CoV-2, and other respiratory viruses distribution, EW 43, 2015-22
Distribución del VRS, SARS-CoV-2 y otros virus respiratorios, SE 43, 2015-22



Graph 4. Suriname: SARI cases/100 hospitalizations, EW 43, 2022 (compared to 2013-21)
Casos de IRAG por cada 100 hospitalizaciones, SE 43, 2022 (comparado con 2013-21)





SUBREGION
CENTRAL AMERICA / AMÉRICA CENTRAL



© 2022 Mapbox © OpenStreetMap



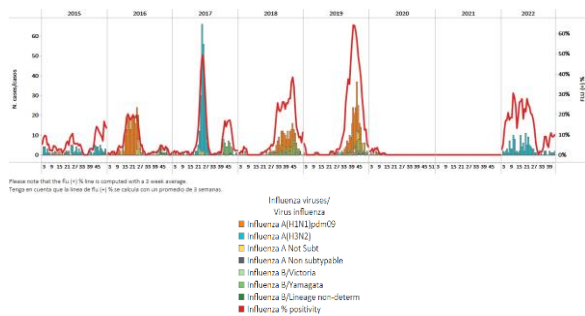
SARInet plus
Severe Acute Respiratory Infections Network



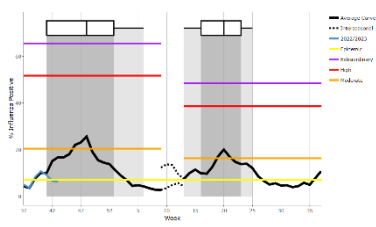
El Salvador

As of EW 43, minimal influenza A(H3N2) virus detections were registered, with decreased influenza activity below the average of previous years at baseline levels (Graphs 1 and 3). Few respiratory syncytial virus detections were reported, with increased activity compared to early 2022 (Graph 2). Among 14 samples analyzed for SARS-CoV-2, four (28.6%) tested positive. The number of SARI cases / 100 hospitalizations augmented above the previous years' average at a low-intensity level (Graph 5). Of the SARI cases, children under five were the most affected. / En la SE 43, se registraron detecciones mínimas de influenza A(H3N2), con una disminución de la actividad de influenza por debajo del promedio de años anteriores en niveles basales (Gráficos 1 y 3). Se informaron pocas detecciones de virus respiratorio sincitial, con una mayor actividad en comparación con el inicio de 2022 (Gráfico 2). De 14 muestras analizadas para SARS-CoV-2, cuatro (28,6 %) fueron positivas. El número de casos de IRAG por cada 100 hospitalizaciones aumentó por encima del promedio de años previos en un nivel de baja intensidad (Gráfico 5). De los casos de IRAG, los niños menores de cinco años fueron los más afectados.

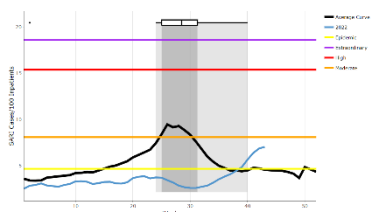
Graph 1. El Salvador: Influenza virus distribution, EW 43, 2015-22
Distribución de virus influenza, SE 43, 2015-22



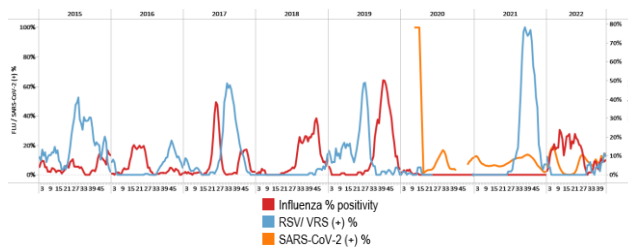
Graph 3. El Salvador: Percent positivity for influenza, EW 43, 2022 (compared to 2010-21)
Porcentaje de positividad de influenza, SE 43 de 2022 (comparación 2010-21)



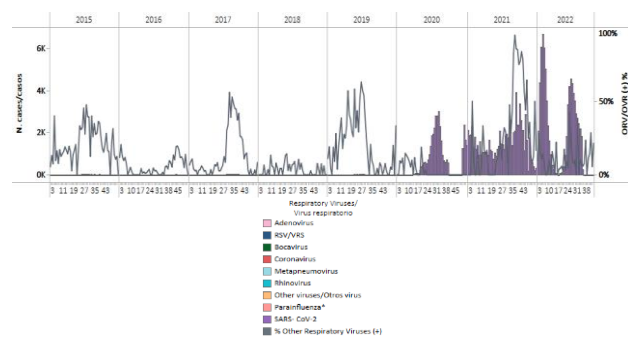
Graph 5. El Salvador: Number of SARI cases / 100 inpatients EW 43, 2022 (compared to 2016-2021)
Número de casos de IRAG / 100 hospitalizaciones, SE 43 de 2022 (comparado con 2016-21)



Graph 2. El Salvador: Influenza, RSV, and SARS-CoV-2 distribution, EW 43 2015-22
Distribución de los virus influenza, VRS y SARS-CoV-2, SE 43, 2015-22



Graph 4. El Salvador: RSV, SARS-CoV-2, and other respiratory viruses distribution, EW 43, 2015-22
Distribución del VRS, SARS-CoV-2 y otros virus respiratorios, SE 43, 2015-22

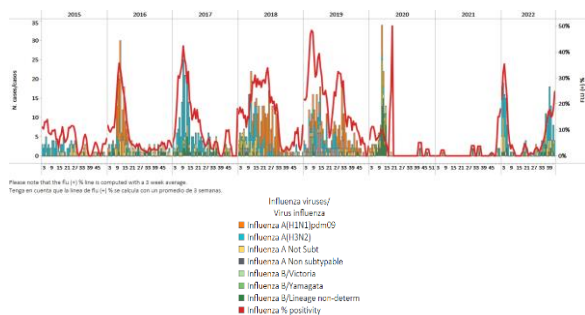




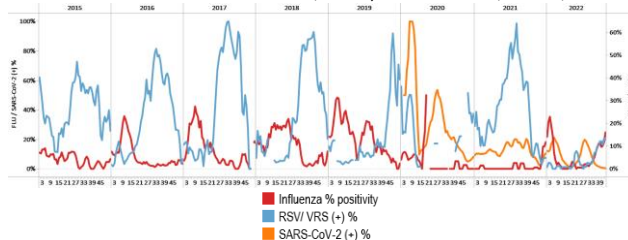
Guatemala

During EW 43, influenza A(H3N2) detections were recorded with increased activity at low-intensity levels for this time of year. In addition, few respiratory syncytial virus detections were recorded at sentinel sites. Among 547 samples analyzed for SARS-CoV-2, none tested positive (Graphs 1, 2, 3, and 4). Rhinovirus, metapneumovirus, and parainfluenza detections were recorded during the reporting period. Influenza-like illnesses/1000 outpatients increased remaining at low-intensity levels (Graph 5). Severe acute respiratory infections continued stable below the average of previous years at low-intensity levels (Graph 6). / Durante la SE 43, se registraron detecciones de influenza A(H3N2) con un aumento de su actividad, ubicándose en niveles de baja intensidad para esta época del año. Además, se registraron pocas detecciones de virus respiratorio sincitial en los sitios centinela. De 547 muestras analizadas para SARS-CoV-2, ninguna resultó positiva (Gráficos 1, 2, 3 y 4). Se registraron detecciones de rinovirus, metapneumovirus y parainfluenza durante el período del informe. E número de casos de enfermedad tipo influenza por cada 1000 pacientes ambulatorios aumentó, manteniéndose en niveles de baja intensidad (Gráfico 5). El número de infecciones respiratorias agudas graves continuó estable por debajo del promedio de años anteriores en niveles de baja intensidad (Gráfico 6).

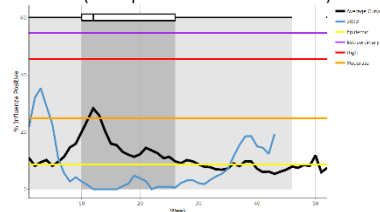
Graph 1. Guatemala: Influenza virus distribution, EW 43, 2015-22
Distribución de influenza, SE 43, 2015-22



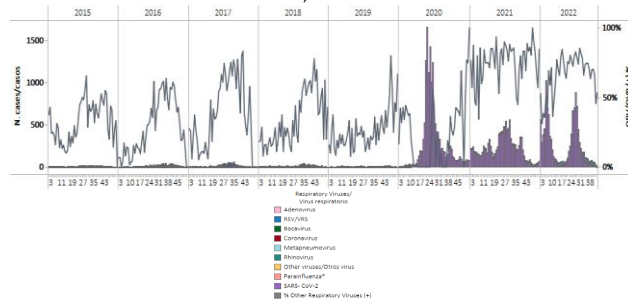
Graph 2. Guatemala: Influenza, RSV, and SARS-CoV-2 distribution, EW 43, 2015-22
Distribución de los virus influenza, VRS y SARS-CoV-2, SE 43, 2015-22



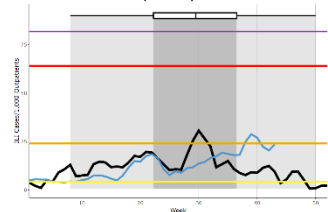
Graph 3. Guatemala: Percentage positivity for influenza, EW 43, 2022 (compared to 2010-21)
Porcentaje de positividad de influenza, SE 43 de 2022 (comparado con 2010-21)



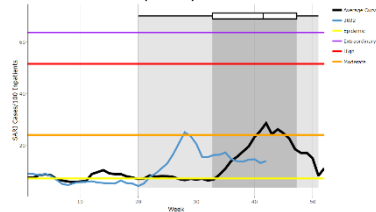
Graph 4. Guatemala: RSV, SARS-CoV-2, and other respiratory viruses distribution, EW 43, 2015-22
Distribución del VRS, SARS-CoV-2 y otros virus respiratorios, SE 43, 2015-22



Graph 5. Guatemala: ILI cases/1000 outpatients, EW 43, 2022 (compared to 2015-21)
Casos de ETI por cada 1000 consultas ambulatorias, SE 43 de 2021 (comparado con 2015-21)



Graph 6. Guatemala: Number of SARI cases / 100 inpatients, EW 43, 2022 (compared to 2017-21)
Número de casos de IRAG / 100 hospitalizaciones, SE 43 de 2022 (comparado con 2017-21)

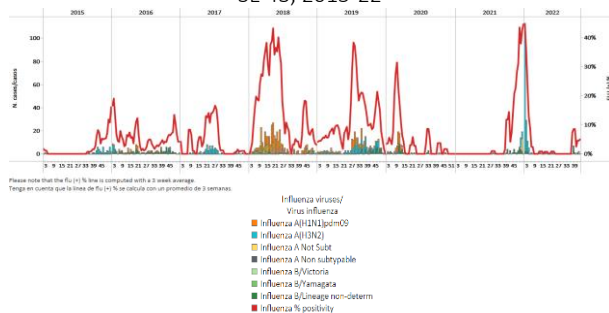




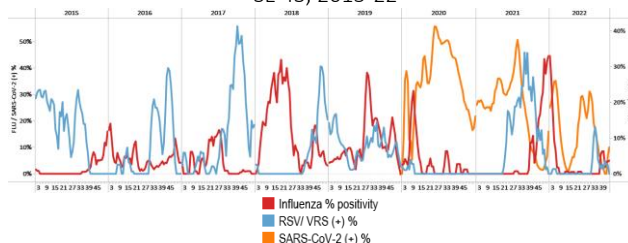
Honduras

In EW 43, no influenza detections were recorded; influenza A(H3N2) circulated the previous week. Influenza activity increased and was above the average of previous years at low-intensity levels. No RSV detections were registered (Graphs 1, 2, and 3). At the national level, five samples were analyzed for SARS-CoV-2 and one tested positive (Graphs 2 and 4). Severe acute respiratory infection and influenza-like illness cases remained below historical activity levels (Graphs 5 and 6). / En la SE 43 no se registraron detecciones de influenza; influenza A(H3N2) circuló en la semana previa. La actividad de la influenza aumentó y estuvo por encima del promedio de años anteriores en niveles de baja intensidad. No se registraron detecciones de VRS (Gráficos 1, 2 y 3). A nivel nacional cinco muestras fueron analizadas para SARS-CoV-2 y una resultó positiva (Gráficos 2 y 4). Los casos de infección respiratoria aguda grave y enfermedad tipo influenza se mantuvieron por debajo de los niveles históricos de actividad (Gráficos 5 y 6).

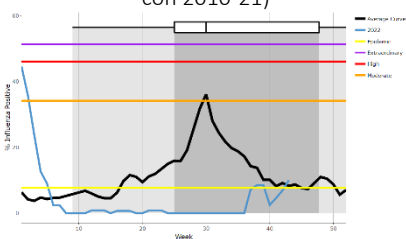
Graph 1. Honduras: Influenza virus distribution, EW 43, 2015-22
Distribución virus de la influenza, SE 43, 2015-22



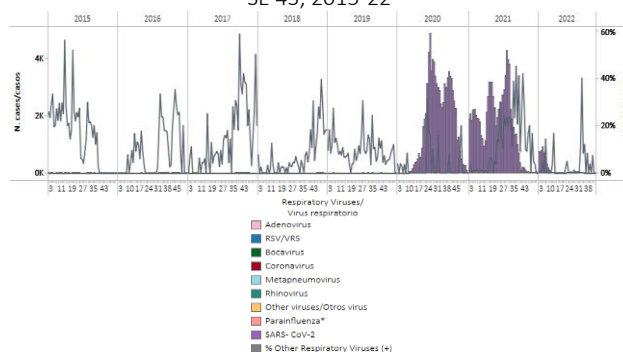
Graph 2. Honduras: Influenza, RSV, and SARS-CoV-2 distribution, EW 43, 2015-22
Distribución de los virus influenza, VRS y SARS-CoV-2, SE 43, 2015-22



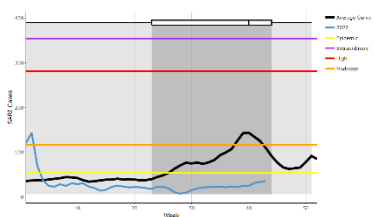
Graph 3. Honduras: Percent positivity for influenza, EW 43, 2022 (compared to 2010-21)
Porcentaje de positividad de influenza SE 43 de 2022 (comparado con 2010-21)



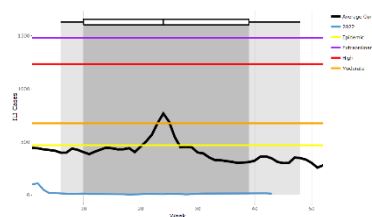
Graph 4. Honduras: RSV, SARS-CoV-2, and other respiratory virus distribution, EW 43, 2015-22
Distribución del VRS, SARS-CoV-2 y otros virus respiratorios, SE 43, 2015-22



Graph 5. Honduras: SARI cases, from sentinel surveillance, EW 43, 2022 (compared to 2010-21)
Casos de IRAG de la vigilancia centinela, SE 43 de 2022 (comparado con 2010-21)



Graph 6. Honduras: ILI cases, from sentinel surveillance, EW 43, 2022 (compared to 2010-21)
Casos de ETI de la vigilancia centinela, SE 43 de 2022 (comparado con 2010-21)

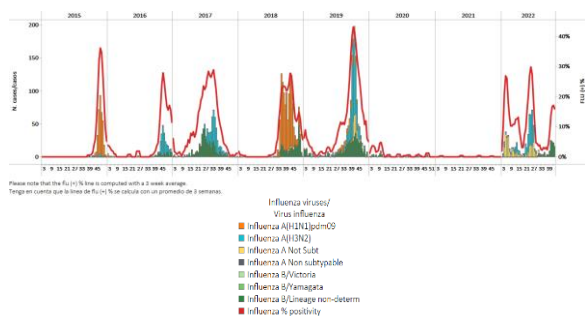




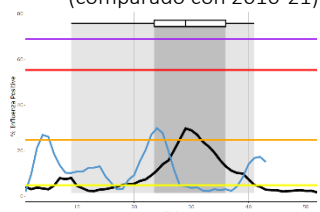
Nicaragua

In EW 43, influenza B (lineage undetermined) detections were recorded, with influenza percent positivity increasing above the average of previous years at low-intensity levels. A single respiratory syncytial virus detection was recorded with decreased activity (Graphs 1, 2, and 3). SARS-CoV-2 percent positivity remained stable, and detections were similar to the number registered by EW 42 (Graphs 2 and 4). In EW 43, 2.1% (20/957) of the analyzed samples tested positive for SARS-CoV-2. / En la SE 43 se registraron detecciones de influenza B (linaje indeterminado), con un aumento del porcentaje de positividad de influenza por encima del promedio de años anteriores en niveles de baja intensidad. Se registró una sola detección de virus respiratorio sincitial con una actividad disminuida (Gráficos 1, 2 y 3). El porcentaje de positividad del SARS-CoV-2 se mantuvo estable y las detecciones fueron similares a las registradas hasta la SE 42 (Gráficos 2 y 4). En la SE 43, el 2,1% (20/957) de las muestras analizadas resultaron positivas para SARS-CoV-2.

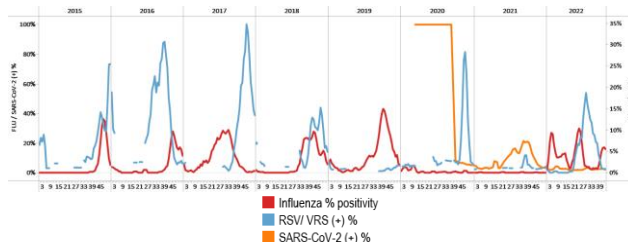
Graph 1. Nicaragua: Influenza virus distribution, EW 43, 2015-22
Distribución de influenza, SE 43, 2015-22



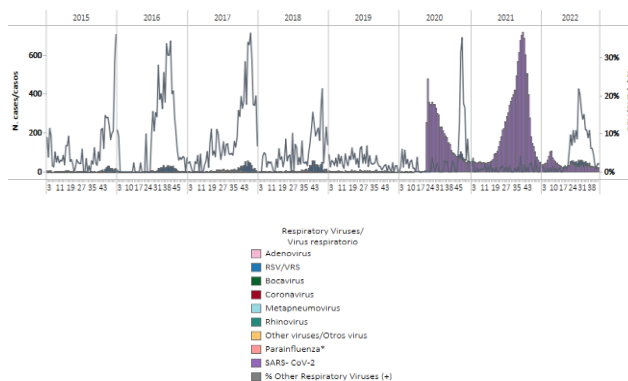
Graph 3. Nicaragua: Percent positivity for influenza, EW 43, 2022 (compared to 2010-21)
Porcentaje de positividad, SE 43 de 2022 (comparado con 2010-21)



Graph 2. Nicaragua: Influenza, RSV, and SARS-CoV-2 distribution, EW 43, 2015-22
Distribución de los virus influenza, VRS y SARS-CoV-2, SE 43, 2015-22



Graph 4. Nicaragua: RSV and other respiratory virus distribution, EW 43, 2015-22
Distribución del VRS y otros virus respiratorios, SE 43, 2015-22

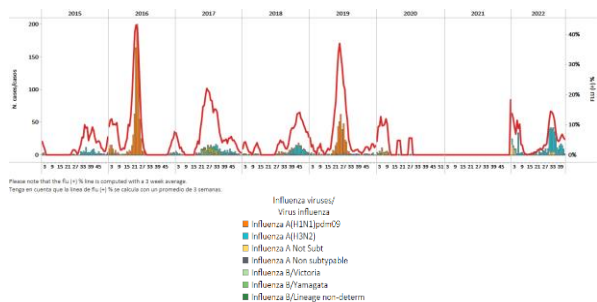




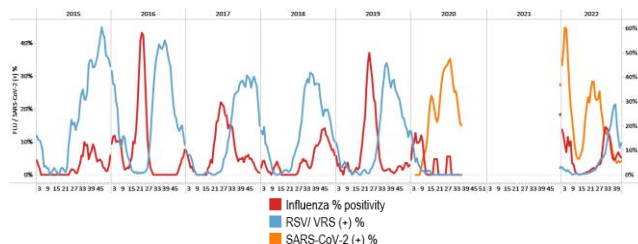
Panama / Panamá

During EW 42, influenza A(H3N2) detections were registered at sentinel sites. Influenza activity was above the average of previous years at baseline levels. Respiratory syncytial virus detections were recorded, with increased percent positivity at moderate levels compared to prior years (Graphs 1, 2, 3, and 4). Co-circulation of rhinovirus, metapneumovirus, parainfluenza, and adenovirus was higher than in pre-pandemic years. Among 153 samples analyzed for SARS-CoV-2, 4 (2.6%) tested positive, with percent positivity stable, at lower levels than those observed since the pandemic's beginning (Graphs 2 and 4). / Durante la SE 42, en los sitios centinela se registraron detecciones de influenza A(H3N2). La actividad de la influenza estuvo por encima del promedio de años anteriores en los niveles basales. Se registraron detecciones de virus sincitial respiratorio, con un aumento del porcentaje de positividad, a niveles moderados en comparación con años anteriores (Gráficos 1, 2, 3 y 4). La circulación concurrente de rinovirus, metapneumovirus, parainfluenza y adenovirus fue mayor que en los años previos a la pandemia. De 153 muestras analizadas para SARS-CoV-2, 4 (2,6 %) resultaron positivas, con un porcentaje de positividad estable, en niveles inferiores a los observados desde el inicio de la pandemia (Gráficos 2 y 4).

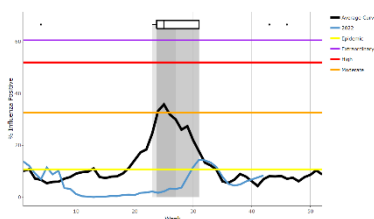
Graph 1. Panama: Influenza virus distribution, EW 42, 2015-22
 Distribución virus de influenza, SE 42, 2015-22



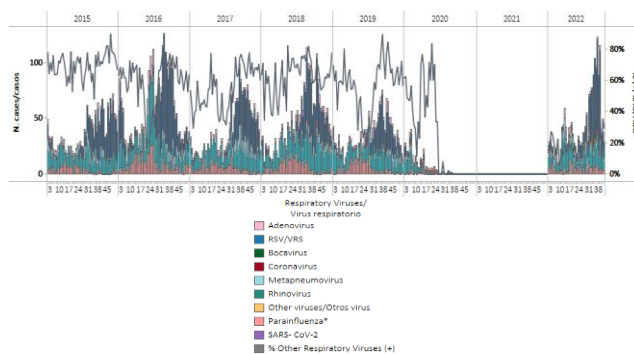
Graph 2. Panama: Influenza, RSV, and SARS-CoV-2 distribution, EW 42, 2015-22
 Distribución de los virus influenza, VRS, and SARS-CoV-2, SE 42, 2015-22



Graph 3. Panama: Percent positivity for influenza, from sentinel surveillance, EW 42, 2022 (compared to 2010-21)
 Porcentaje de positividad de influenza, de la vigilancia centinela, SE 42 de 2020 (comparado con 2010-21)

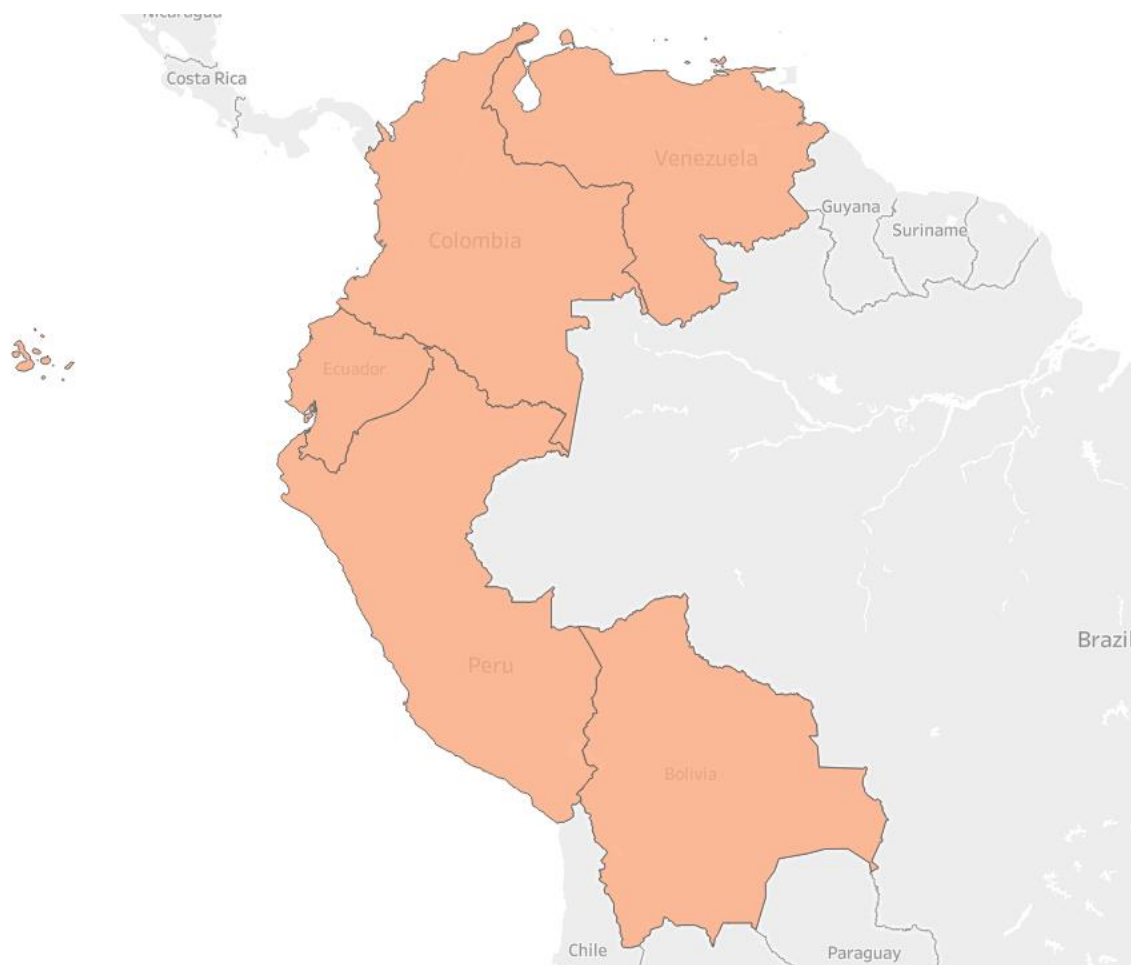


Graph 4. Panama: RSV and other respiratory viruses distribution, EW 42, 2015-22
 Distribución del VRS y otros virus respiratorios, SE 42, 2015-22





SUBREGION
SOUTH AMERICA / AMÉRICA DEL SUR – ANDEAN COUNTRIES / PAÍSES
ANDINOS



1

2

3

4

5

6

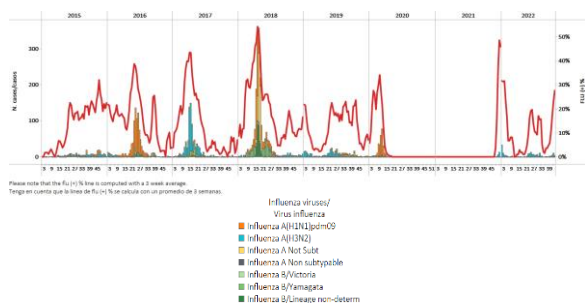
7



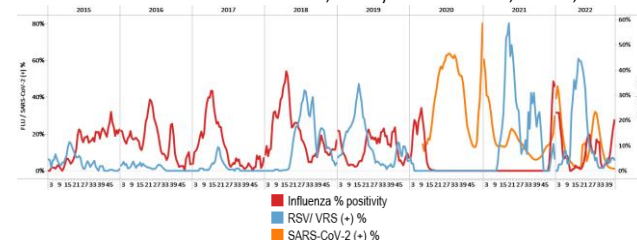
Bolivia

During EW 43, influenza A(H3N2) detections were registered, followed by a few influenza B/Victoria detections (Graph 1). Influenza activity increased above the average of previous years at low-intensity levels. No respiratory syncytial virus detections were reported. In contrast, SARS-CoV-2 detections and percent positivity remained stable, with 1.1% of samples testing positive (Graphs 2, 3, and 4). SARI cases / 100 hospitalizations stayed the same, with activity at moderate-intensity levels (Graph 5). / Durante la SE 43, se registraron detecciones de influenza A(H3N2), seguidas de algunas detecciones de influenza B/Victoria (Gráfico 1). La actividad de la influenza aumentó por encima del promedio de años anteriores en niveles de baja intensidad. No se informaron detecciones de virus respiratorio sincitial. Por el contrario, las detecciones de SARS-CoV-2 y el porcentaje de positividad se mantuvieron estables, con un 1,1 % de las muestras que resultaron positivas (Gráficos 2, 3 y 4). El número de casos de IRAG por cada 100 hospitalizaciones se mantuvo igual, con una actividad en niveles de intensidad moderada (Gráfico 5).

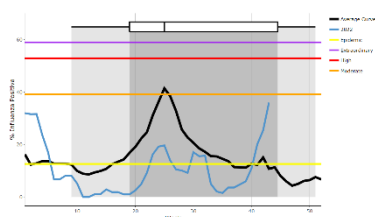
Graph 1. Bolivia: Influenza virus distribution, EW 43, 2015-22
Distribución de influenza, SE 43, 2015-22



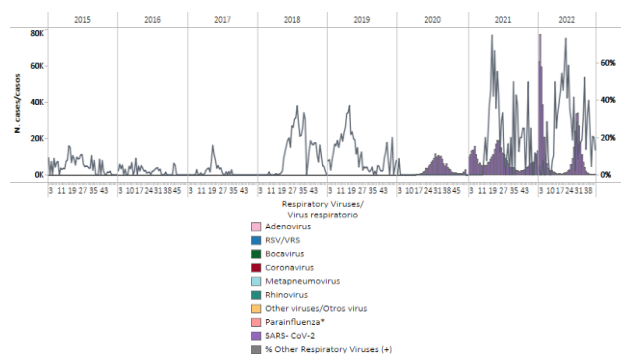
Graph 2. Bolivia: Influenza, RSV, and SARS-CoV-2 distribution, EW 43, 2015-22
Distribución de los virus influenza, VRS y SARS-CoV-2, SE 43, 2015-22



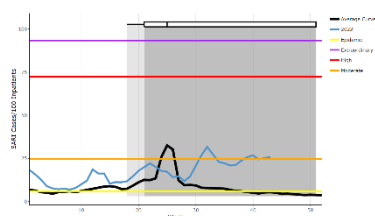
Graph 3. Bolivia: Percent positivity for influenza, from sentinel surveillance; EW 43, 2022 (compared to 2010-21)
Porcentaje de positividad de influenza de la vigilancia centinela; SE 43 de 2022 (comparado con 2010-21)



Graph 4. Bolivia: RSV, SARS-CoV-2, and other respiratory viruses distribution, EW 43, 2015-22
Distribución del VRS, SARS-CoV-2 y otros virus respiratorios, SE 43, 2015-22



Graph 5. Bolivia: Number of SARI cases / 100 inpatients, EW 43, 2022 (compared to 2015-21)
Número de casos de IRAG / 100 hospitalizaciones, SE 43 de 2022 (comparado con 2015-21)

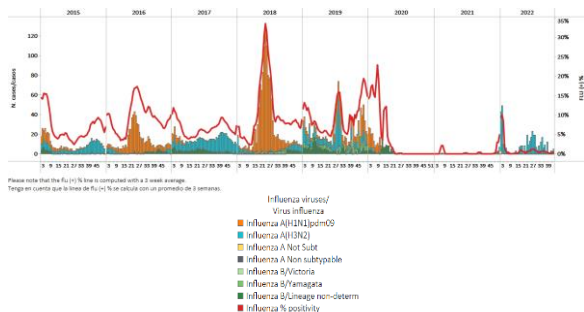




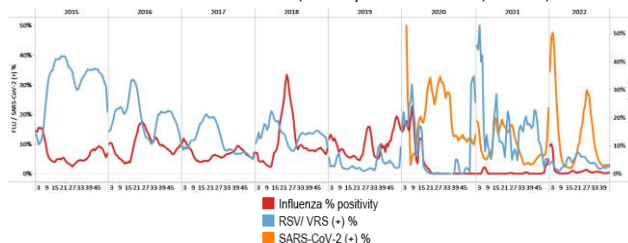
Colombia

During EW 43, influenza A(H3N2) detections were reported followed by a few influenza A(H1N1)pdm09 detections, with activity at baseline levels. Respiratory syncytial virus detections were recorded with percent positivity at low levels compared to previous years but increasing (Graphs 1, 2, and 3). SARS-CoV-2 percent positivity (2.6%) remained stable compared to the prior registered, with fewer detections than reported last week (Graphs 2 and 4). The number of consultations for pneumonia has not varied above the average of previous years at low-intensity levels (Graph 5). Most pneumonia cases occurred in children under five, followed by those aged 60 and older. Bogota, Antioquia, and Cundinamarca reported most cases. Acute respiratory infection cases decreased to low-intensity levels (Graph 6). / Durante la SE 43, se reportaron detecciones de influenza A(H3N2), seguidas de algunas detecciones de influenza A(H1N1)pdm09, con actividad en niveles basales. Las detecciones de virus respiratorio sincitial se registraron con un porcentaje de positividad en niveles bajos en comparación con años anteriores, pero en aumento (Gráficos 1, 2 y 3). El porcentaje de positividad de SARS-CoV-2 (2,6 %) se mantuvo estable en comparación con el registro anterior, con menos detecciones que las informadas la semana pasada (Gráficos 2 y 4). El número de consultas por neumonía no ha variado por encima del promedio de años anteriores en niveles de baja intensidad (Gráfico 5). La mayoría de los casos de neumonía ocurrieron en niños menores de cinco años, seguidos por los mayores de 60 años. Bogotá, Antioquia y Cundinamarca reportaron la mayoría de los casos. Los casos de infección respiratoria aguda disminuyeron a niveles de baja intensidad (Gráfico 6).

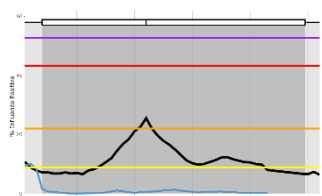
Graph 1. Colombia: Influenza virus distribution, EW 43, 2015-22
 Distribución de virus influenza, SE 43, 2015-22



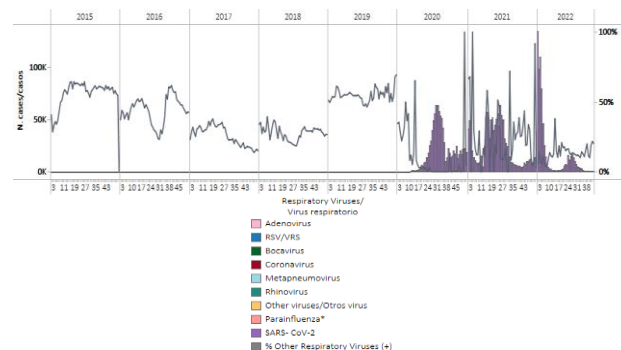
Graph 2. Colombia: Influenza, RSV and SARS-CoV-2 distribution, EW 43, 2015-22
 Distribución de virus influenza, VRS y SARS-CoV-2, SE 43, 2015-22



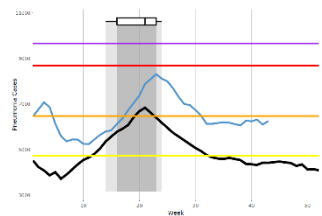
Graph 3. Colombia: Percent positivity for influenza, EW 43, 2022 (compared to 2010-21)
 Porcentaje de positividad de influenza, SE 43 de 2022 (comparado con 2010-21)



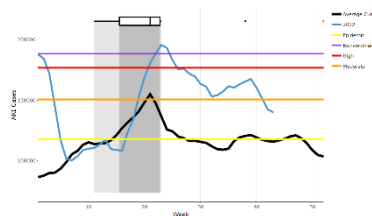
Graph 4. Colombia: RSV, SARS-CoV-2, and other respiratory virus distribution, EW 43, 2015-22
 Distribución del VRS, SARS-CoV-2 y otros virus respiratorios, SE 43 2015-22



Graph 5: Colombia: Pneumonia cases, EW 43, 2022 (compared to 2012-21)
 Casos de neumonía, SE 43 de 2022 (comparado con 2012-21)



Graph 6. Colombia: ARI cases, EW 43, 2022 (compared to 2012-21)
 Casos de IRA, SE 43 de 2022 (comparado con 2012-21)

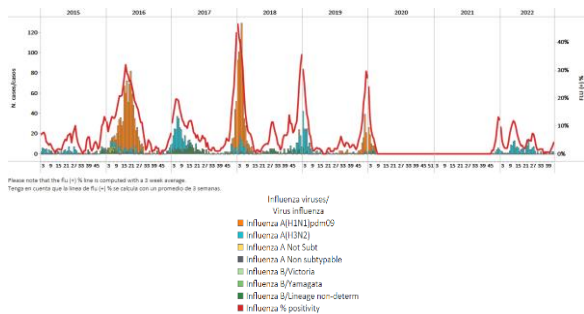




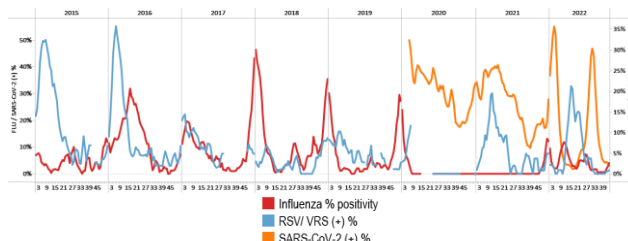
Ecuador

In EW 43, a few influenza A(H3N2) detections were recorded. Influenza activity remained at baseline levels. No respiratory syncytial virus detection was recorded (Graphs 1, 2, and 3), with parainfluenza detections being reported. SARS-CoV-2 percent positivity (1.9%) remained stable, with activity at similar levels recorded early this year (Graphs 2 and 4). SARI cases / 100 inpatients declined below the average of previous years at baseline levels, while pneumonia cases increased above the average of previous years at a low-intensity level (Graphs 5 and 6). / En la SE 43 se registraron algunas detecciones de influenza A(H3N2). La actividad de la influenza se mantuvo en los niveles basales. No se registraron detecciones de virus respiratorio sincitial (Gráficos 1, 2 y 3), con el reporte de detecciones de parainfluenza. El porcentaje de positividad del SARS-CoV-2 (1,9 %) se mantuvo estable, con una actividad en niveles similares a los registrados a principios de este año (Gráficos 2 y 4). El número de casos de IRAG por cada 100 pacientes hospitalizados disminuyó por debajo del promedio de años anteriores ubicándose en los niveles basales, mientras que los casos de neumonía aumentaron por encima del promedio de años anteriores en un nivel de baja intensidad (Gráficos 5 y 6).

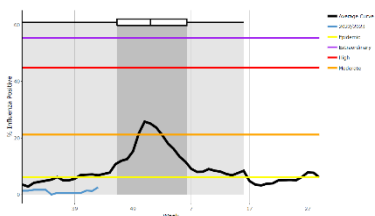
Graph 1. Ecuador: Influenza virus distribution from SARI sentinel cases, EW 43, 2015-22
Distribución de virus influenza de casos de IRAG centinela SE 43, 2015-22



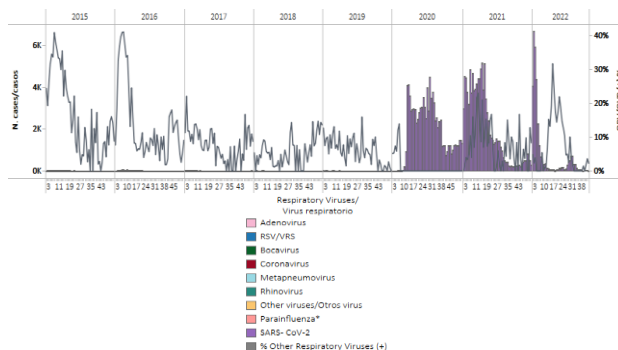
Graph 2. Ecuador: Influenza, RSV, and SARS-CoV-2 distribution EW 43, 2015-22
Distribución de los virus influenza, VRS y SARS-CoV-2, SE 43, 2015-22



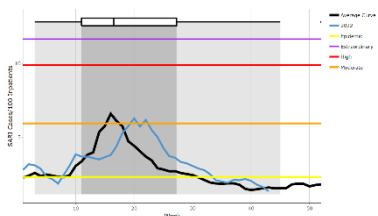
Graph 3. Ecuador: Percent positivity for influenza, EW 43, 2022 (compared to 2011-21)
Porcentaje de positividad de influenza, SE 43 de 2022 (comparado con 2011-21)



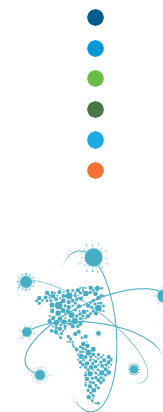
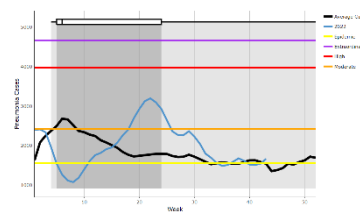
Graph 4. Ecuador: RSV, SARS-CoV-2, and other respiratory viruses distribution, (non-sentinel sites) EW 43, 2015-22
Distribución del VRS, SARS-CoV-2 y otros virus respiratorios, (sitios no centinela) SE 43, 2015-22



Graph 5. Ecuador: Number of SARI cases / 100 inpatients, EW 43, 2022 (compared to 2015-21)
Número de casos de IRAG / 100 hospitalizaciones, SE 43 de 2022 (comparado con 2015-21)



Graph 6. Ecuador: Pneumonia cases, EW 43, 2022 (compared to 2013-21)
Casos de neumonía, SE 43 de 2022 (comparado con 2013-21)

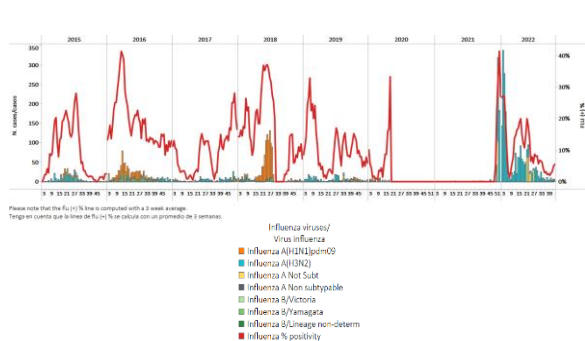




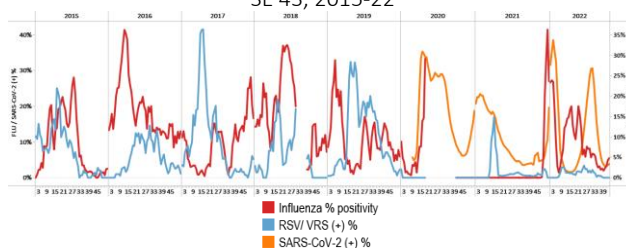
Peru / Perú

During EW 43, the predominance of influenza A(H3N2) virus detections was reported, with the co-circulation of influenza B/Victoria (Graph 1). Influenza percent positivity remained at baseline levels by EW 43 (Graph 3). No respiratory syncytial virus detections were recorded; SARS-CoV-2 percent positivity (4.2%) increased slightly compared to the previously registered (Graphs 2 and 4). / Durante la SE 43 se reportó el predominio de detecciones del virus influenza A(H3N2), con la circulación concurrente de influenza B linaje Victoria (Gráfico 1). El porcentaje de positividad de influenza se mantuvo en los niveles basales para la SE 43 (Gráfico 3). No se registraron detecciones de virus respiratorio sincitial; el porcentaje de positividad del SARS-CoV-2 (4,2 %) aumento ligeramente en comparación con el registrado anteriormente (Gráficos 2 y 4).

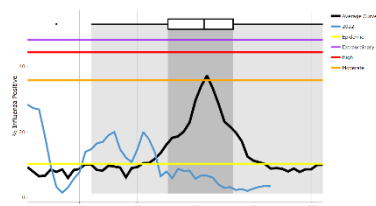
Graph 1. Peru: Influenza virus distribution, EW 43, 2015-22
Distribución de virus influenza, SE 43, 2015-22



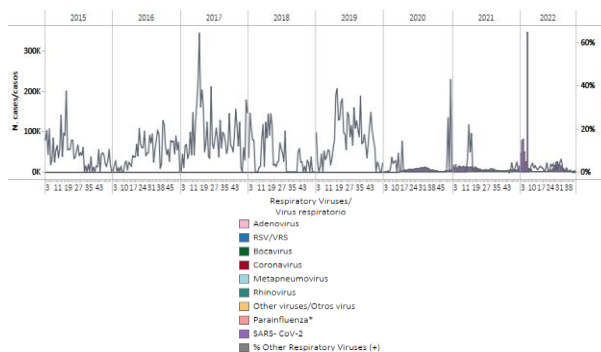
Graph 2. Peru: Influenza, RSV, and SARS-CoV-2 distribution, EW 43, 2015-22
Distribución de virus influenza, VRS y SARS-CoV-2, SE 43, 2015-22



Graph 3. Peru: Percent positivity for influenza, EW 43, 2022
(compared to 2010-20)
Porcentaje de positividad de influenza, SE 43 de 2022
(comparado con 2010-20)



Graph 4. Peru: RSV, SARS-CoV-2, and other respiratory viruses distribution, EW 43, 2015-22
Distribución del VRS, SARS-CoV-2 y otros virus respiratorios, SE 43, 2015-22

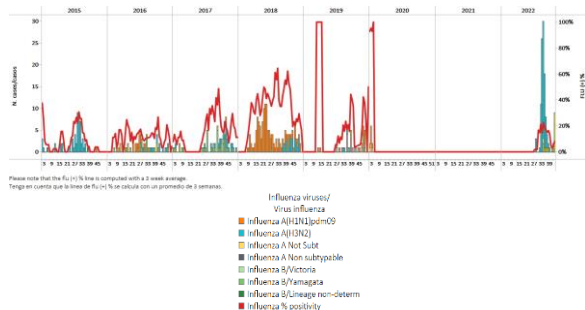




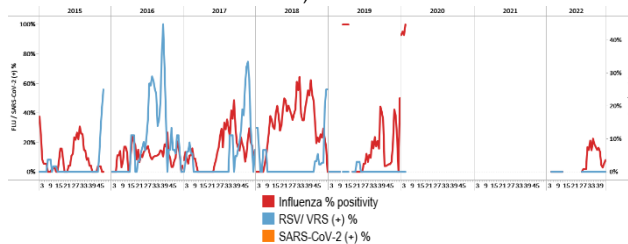
Venezuela

During EW 43, no influenza detections were reported (Graph 1), with the circulation of influenza B/Victoria the previous week. No RSV detections were recorded (Graph 2). Influenza activity decreased, remaining at baseline levels (Graph 3). No other respiratory virus detections were recorded in EW 43 (Graph 4). / Durante la SE 43 no se reportaron detecciones de influenza (Gráfico 1), con circulación de influenza B/Victoria la semana previa. No se registraron detecciones de VRS (Gráfico 2). La actividad de la influenza disminuyó, manteniéndose en niveles basales (Gráfico 3). No se registraron detecciones de otros virus respiratorios en la SE 432 (Gráfico 4).

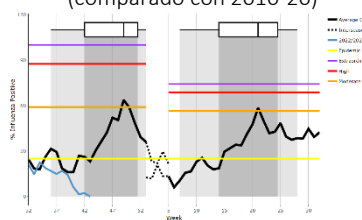
Graph 1. Venezuela: Influenza virus distribution by EW 43, 2015-22
Distribución de virus influenza por SE 43, 2015-22



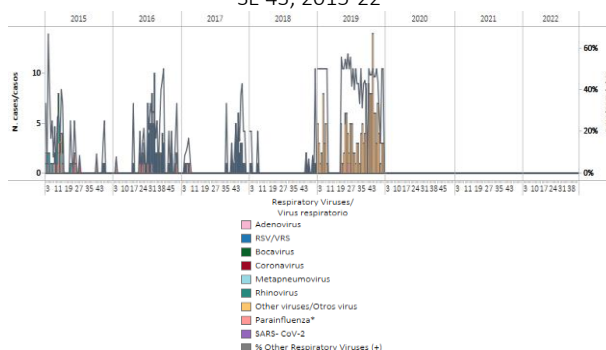
Graph 2. Venezuela: Influenza, RSV, and SARS-CoV-2 distribution, EW 43, 2015-22
Distribución de virus influenza, VRS y SARS-CoV-2, SE 43, 2015-22



Graph 3. Venezuela: Percent positivity for influenza, EW 43, 2022
(comparado to 2010-20)
Porcentaje de positividad de influenza, SE 43 de 2022
(comparado con 2010-20)



Graph 4. Venezuela: RSV, SARS-CoV-2, and other respiratory viruses distribution, EW 43, 2015-22
Distribución del VRS, SARS-CoV-2 y otros virus respiratorios, SE 43, 2015-22





SUBREGION
SOUTH AMERICA / AMÉRICA DEL SUR
SOUTH CONE AND BRAZIL / CONO SUR Y BRASIL

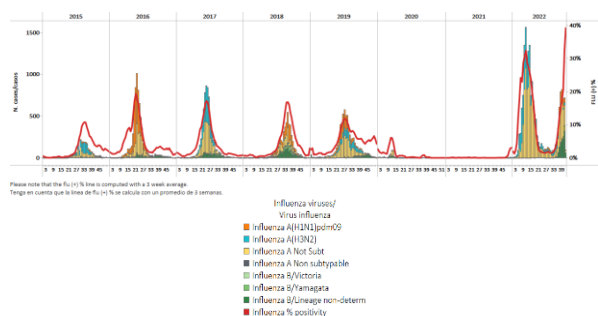




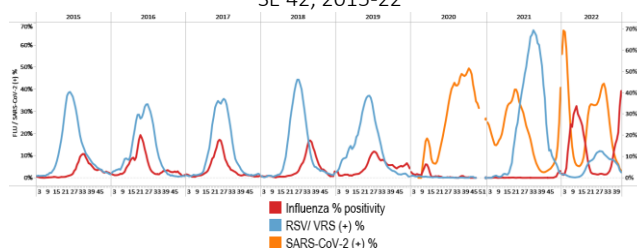
Argentina

During EW 42, nationally, influenza B (lineage undetermined) was more frequently detected, followed by influenza A(H1N1)pdm09 (where subtyping was performed). Influenza percent positivity remained unchanged above the average of previous seasons at a moderate-intensity level for this time of year (Graphs 1 and 3). In contrast, decreased respiratory syncytial virus detections were recorded, with reduced activity at lower levels than the peaks observed in previous seasons. Similarly, SARS-CoV-2 percent positivity (1 %) decreased compared to previous weeks (Graphs 2 and 4). ILI consultations were above last season's average for this time of year at low-intensity levels (Graph 5); besides, the number of SARI cases remained stable at baseline levels (Graph 6). / Durante la SE 42, a nivel nacional, se detectó con mayor frecuencia influenza B (linaje indeterminado), seguida de influenza A(H1N1)pdm09 (muestras con subtipo determinado). El porcentaje de positividad de influenza se mantuvo sin cambios por encima del promedio de temporadas anteriores en un nivel de intensidad moderada para esta época del año (Gráficos 1 y 3). Por el contrario, se registró una disminución de las detecciones del virus respiratorio sincitial, con una actividad reducida a niveles más bajos que los picos observados en temporadas anteriores. De manera similar, el porcentaje de positividad de SARS-CoV-2 (1 %) disminuyó en comparación con las semanas anteriores (Gráficos 2 y 4). Las consultas por ETI estuvieron por encima del promedio de la temporada pasada para esta época del año en niveles de baja intensidad (Gráfico 5); además, el número de casos de IRAG se mantuvo estable en los niveles basales (Gráfico 6).

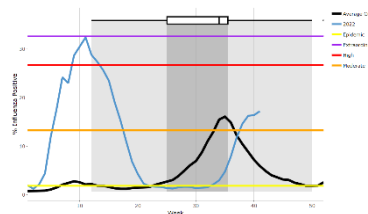
Graph 1. Argentina: Influenza virus distribution, EW 42, 2015-22
Distribución de virus influenza, SE 42, 2015-22



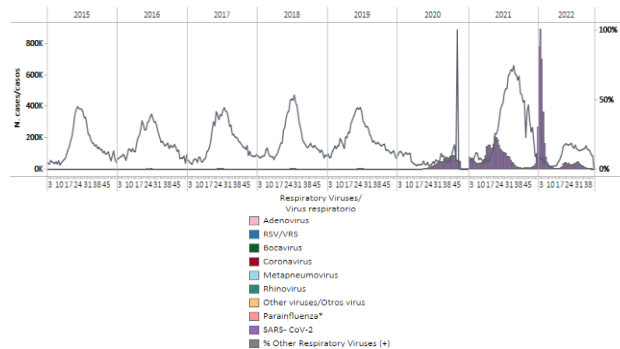
Graph 2. Argentina: Influenza, RSV, and SARS-CoV2 distribution
EW 42, 2015-22
Distribución de virus influenza, VRS y SARS-CoV-2,
SE 42, 2015-22



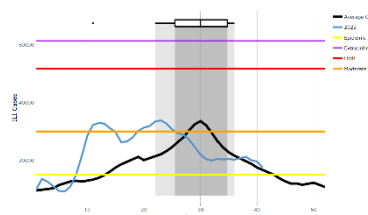
Graph 3. Argentina: Percent positivity for influenza, EW 42, 2022
(compared to 2010-21)
Porcentaje de positividad de influenza, SE 42 de 2022
(comparado con 2010-21)



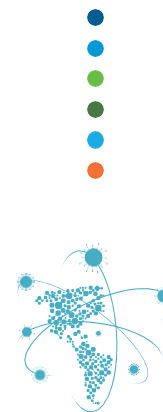
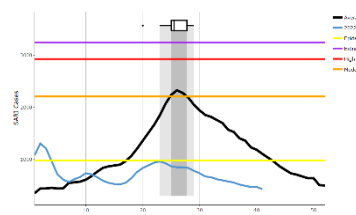
Graph 4. Argentina: RSV, SARS-CoV-2, and other respiratory virus
distribution, EW 42, 2014-22
Distribución del VRS, SARS-CoV-2 y otros virus respiratorios,
SE 42, 2014-22



Graph 5. Argentina: Number of ILI cases, EW 42, 2022
(compared to 2012-21)
Número de casos de ETI, SE 42 de 2022
(comparado con 2012-21)



Graph 6. Argentina: Number of SARI cases, EW 42, 2022
(compared to 2012-21)
Número de casos de IRAG, SE 42 de 2022
(comparado con 2012-21)

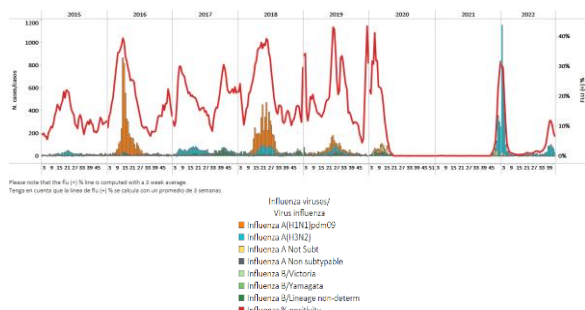




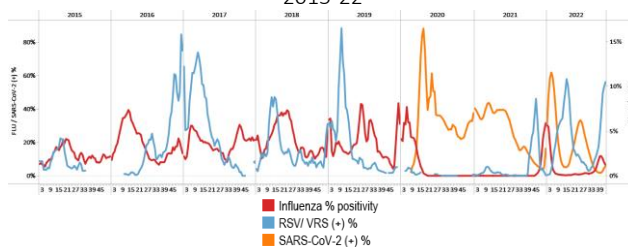
Brazil / Brasil

As of EW 43, influenza detections were recorded with A(H3N2) predominance followed by influenza A(H1N1)pdm09. Influenza percent positivity (5.4%) decreased compared to the previously reported; similarly, influenza activity remained stable below the average of previous years for the same period with intensity at baseline levels (Graphs 1 and 3). In addition, respiratory syncytial virus detections and percent positivity continue to increase; besides, SARS-CoV-2 detections and percent positivity (7.2%) increased compared to the previous week (Graphs 2 and 4). / En la SE 43 se registraron detecciones de influenza con predominio A(H3N2) seguidas de influenza A(H1N1)pdm09. El porcentaje de positividad de influenza (5,4 %) disminuyó en comparación con el reportado previamente; de igual forma, la actividad de la influenza se mantuvo estable por debajo del promedio de años anteriores para el mismo período con intensidad en niveles basales (Gráficos 1 y 3). Además, las detecciones del virus sincitial respiratorio y el porcentaje de positividad continúan aumentando; de manera similar, las detecciones de SARS-CoV-2 y el porcentaje de positividad (7,2 %) aumentaron en comparación con la semana previa (Gráficos 2 y 4).

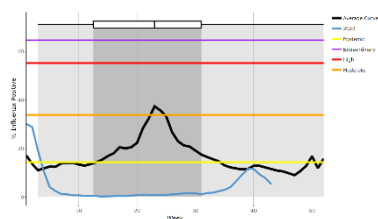
Graph 1. Brazil: All NICs. Influenza virus distribution, EW 43, 2015-22
Distribución de virus influenza, SE 43, 2015-22



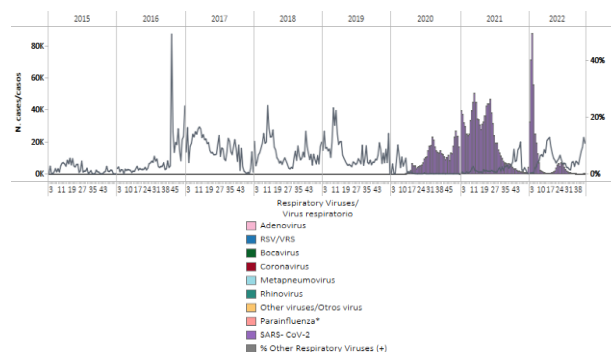
Graph 2. Brazil: All NICs. Influenza, RSV, and SARS-CoV-2, distribution, EW 43, 2015-22
Distribución de los virus influenza, VRS y SARS-CoV-2, SE 43, 2015-22



Graph 3. Brazil: Percent positivity for influenza, EW 43, 2022 (compared to 2011-21)
Porcentaje de positividad de influenza, SE 43 de 2022 (comparado con 2011-21)



Graph 4. Brazil: All NICs. RSV, SARS-CoV-2, and other respiratory virus distribution, EW 43, 2015-22
Distribución del VRS, SARS-CoV-2 y otros virus respiratorios, SE 43 2015-22

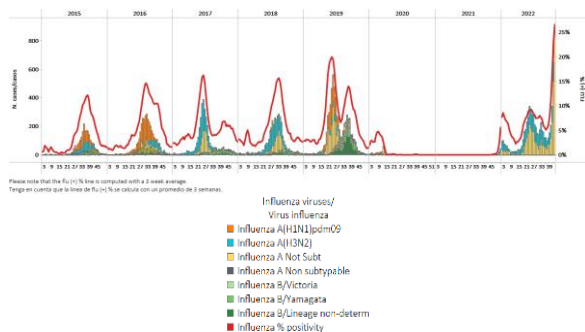




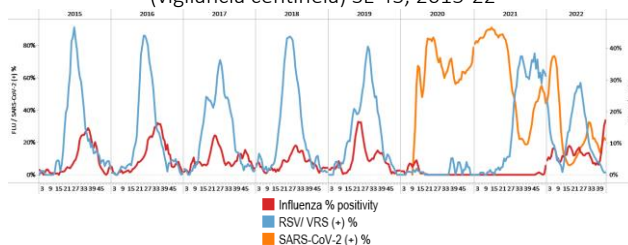
Chile

During EW 43, influenza A(H3N2) detections predominated, followed by influenza A(H1N1)pdm09 and B/Victoria. Influenza activity increased at 29.0% positivity, above the average of previous seasons at high-intensity levels for this time of year (Graphs 1 and 3). Respiratory syncytial virus activity levels and percent positivity (1%) declined, while SARS-CoV-2 activity remained unchanged (4.9%) compared to the previous week (Graphs 2 and 4). Influenza-like illness visits increased, remaining at moderate-intensity levels (Graph 5), and the number of severe acute respiratory infection cases / 100 hospitalizations stayed unchanged above the average of previous seasons at a low-intensity level (Graph 6). / Durante la SE 43 predominaron las detecciones de influenza A(H3N2), seguidas de influenza A(H1N1)pdm09 y B/Victoria. La actividad de la influenza aumentó a 29,0 % de positividad, por encima del promedio de temporadas anteriores en niveles de alta intensidad para esta época del año (Gráficos 1 y 3). Los niveles de actividad del virus respiratorio sincitial y el porcentaje de positividad (1 %) disminuyeron, mientras que la actividad del SARS-CoV-2 se mantuvo sin cambios (4,9 %) en comparación con los niveles registrados la semana previa (Gráficos 2 y 4). Las visitas por enfermedad tipo influenza aumentaron, manteniéndose en niveles de intensidad moderada (Gráfico 5), y el número de casos de infección respiratoria aguda grave por cada 100 hospitalizaciones se mantuvo sin cambios por encima del promedio de temporadas anteriores en un nivel de baja intensidad (Gráfico 6).

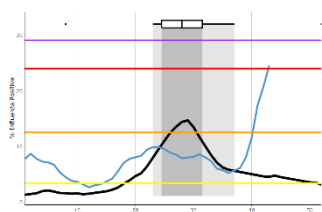
Graph 1. Chile: Influenza virus distribution, EW 43, 2015-22
Distribución de virus de influenza, SE 43, 2015-22



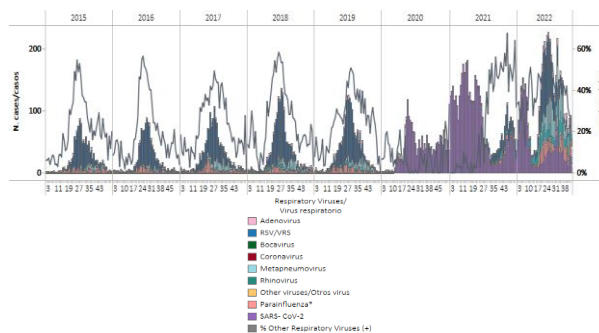
Graph 2. Chile: Influenza, RSV, and SARS-CoV-2, distribution, (sentinel surveillance) EW 43, 2015-22
Distribución de los virus influenza, VRS y SARS-CoV-2, (vigilancia centinela) SE 43, 2015-22



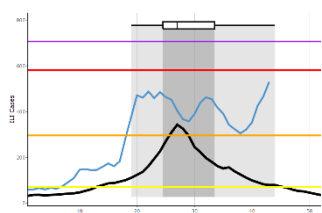
Graph 3. Chile: Percent positivity for influenza, EW 43, 2022 (compared to 2010-21)
Porcentaje de positividad de influenza, SE 43 de 2022 (comparado con 2010-21)



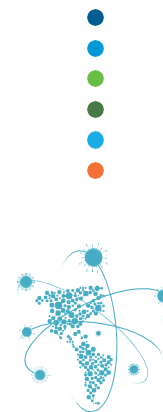
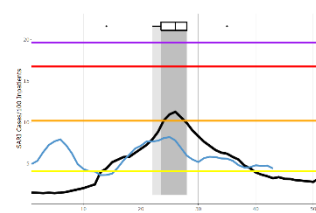
Graph 4. Chile: RSV, SARS-CoV-2, and other respiratory viruses distribution, (sentinel surveillance) EW 43, 2015-22
Distribución del VRS, SARS-CoV-2 y otros virus respiratorios (vigilancia centinela) SE 43, 2015-22



Graph 5. Chile: Number of ILI cases EW 43, 2022 (compared to 2015-21)
Número de consultas por ETI, SE 43 de 2022 (comparado con 2015-21)



Graph 6. Chile: SARI cases/100 hospitalizations (sentinel surveillance) EW 43, 2022 (compared to 2015-21)
Casos de IRAG/100 hospitalizaciones (vigilancia centinela), SE 43 de 2022 (comparado con 2015-21)

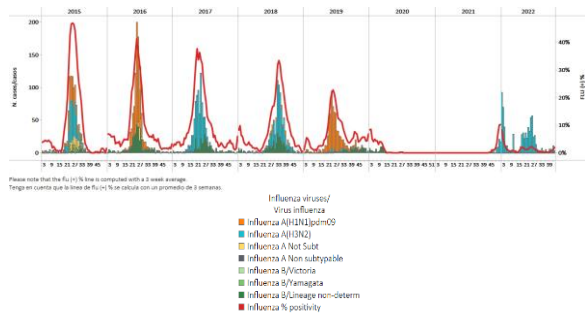




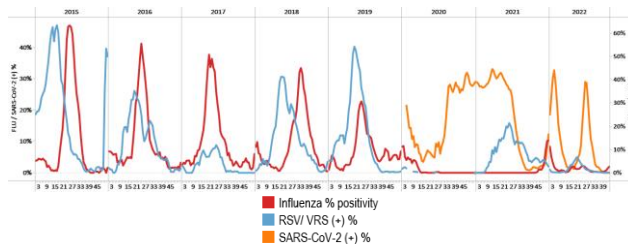
Paraguay

In EW 43, influenza detections have been reported; influenza B/Victoria was more frequently detected, followed by A(H3N2); nevertheless, the percent positivity has remained below baseline levels. No RSV detections were registered (Graphs 1, 2, and 3). No SARS-CoV-2 detections were recorded by EW 43 (Graphs 2 and 4). In recent weeks SARI/100 hospitalizations at sentinel sites have shown a decreasing trend with activity at a low-intensity level below the average of previous seasons (Graph 5); in contrast, ILI cases/1000 outpatients remained stable at baseline levels (Graph 6). / En la SE 43 se han notificado detecciones de influenza, con mayor frecuencia influenza B/Victoria, seguida de A(H3N2); no obstante, el porcentaje de positividad se ha mantenido por debajo del umbral basal. No se registraron detecciones de VRS (Gráficos 1, 2 y 3). No se registraron detecciones de SARS-CoV-2 en la SE 43 (Gráficos 2 y 4). En las últimas semanas el número de casos de IRAG por cada 100 hospitalizaciones en sitios centinela ha mostrado una tendencia decreciente con una actividad a nivel de baja intensidad, por debajo del promedio de temporadas anteriores (Gráfico 5); en cambio, el número de casos de ETI por cada 1000 pacientes ambulatorios se mantuvo estable en los niveles basales (Gráfico 6).

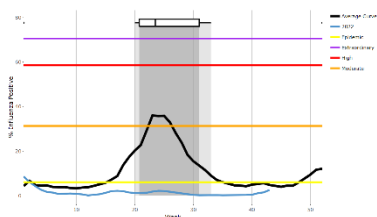
Graph 1. Paraguay: Influenza virus distribution
EW 43, 2015-22
Distribución de virus de influenza,
SE 43, 2015-22



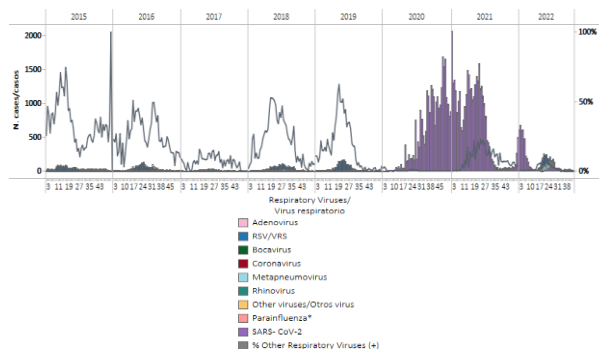
Graph 2. Paraguay: Influenza, RSV, and SARS-CoV-2 distribution,
EW 43, 2015-21
Distribución de los virus influenza, VRS y SARS-CoV-2,
SE 43, 2015-21



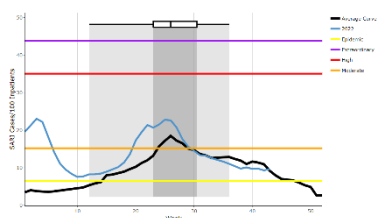
Graph 3. Paraguay: Percent positivity for influenza, EW 43, 2022
(in comparison to 2010-21)
Porcentaje de positividad de influenza, SE 43 de 2022
(comparado con 2010-21)



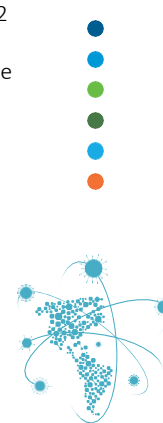
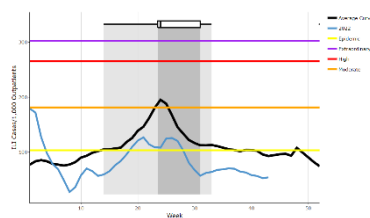
Graph 4. Paraguay: RSV, SARS-CoV-2, and other respiratory
viruses distribution, EW 43, 2015-22
Distribución del VRS, SARS-CoV-2 y otros virus respiratorios,
SE 43, 2015-22



Graph 5. Paraguay: Number of SARI cases / 100 inpatients
EW 43, 2022 (compared to 2015-21)
Número de casos de IRAG / 100 hospitalizaciones, SE 43 de 2022
(comparado con 2015-21)



Graph 6. Paraguay: ILI cases/1000 outpatients, EW 43, 2022
(compared to 2015-21)
Casos de ETI por cada 1000 consultas ambulatorias, SE 43 de
2021 (comparado con 2015-21)

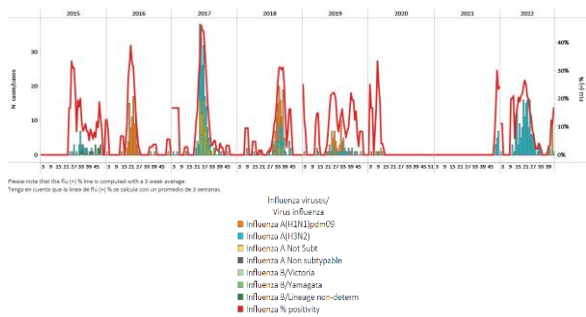




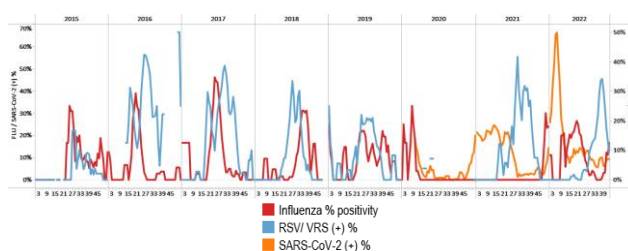
Uruguay

In EW 43, influenza A(H3N2) detections were reported. Percent positivity had a steep increase above the average of previous seasons at a low-intensity level for this time of year (Graphs 1 and 3). Soriano, Montevideo, and Maldonado registered the most influenza cases. A few respiratory syncytial virus detections were recorded, and percent positivity continued to decline at levels observed in EW 29 this year. SARS-CoV-2 percent positivity remained stable at 6.3% (Graph 2). In addition, SARI cases/100 hospitalizations at sentinel sites continued to decrease at low-intensity levels above the average of previous seasons (Graph 4). / En la SE 43 se reportaron detecciones de influenza A(H3N2). El porcentaje de positividad tuvo un fuerte aumento por encima del promedio de temporadas anteriores en un nivel de baja intensidad para esta época del año (Gráficos 1 y 3). Soriano, Montevideo y Maldonado registraron la mayor cantidad de casos de influenza. Se registraron algunas detecciones de virus respiratorio sincitial y el porcentaje de positividad continuó disminuyendo a los niveles observados en la SE 29 de este año. El porcentaje de positividad de SARS-CoV-2 se mantuvo estable en 6,3 % (Gráfico 2). Además, el número de casos de IRAG por cada 100 hospitalizaciones en sitios centinela continuó disminuyendo, ubicándose en niveles de baja intensidad por encima del promedio de temporadas anteriores (Gráfico 4).

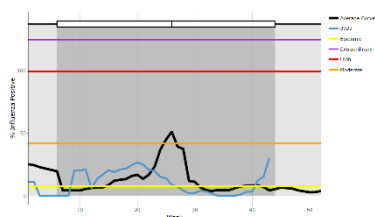
Graph 1. Uruguay: Influenza virus distribution EW 43, 2015-22
Distribución de virus de influenza, SE 43, 2015-22



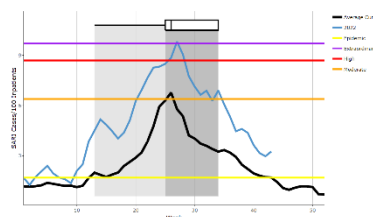
Graph 2. Uruguay: Influenza and RSV distribution, EW 43, 2015-22
Distribución de los virus influenza y VRS, SE 43, 2015-22



Graph 3. Uruguay: Percent positivity for influenza, EW 43, 2022
(compared to 2010-21)
Porcentaje de positividad de influenza, SE 43 de 2022
(comparado con 2010-21)



Graph 4. Uruguay: SARI cases/100 hospitalizations
(sentinel surveillance), EW 43, 2022 (compared to 2017-21)
Casos de IRAG por cada 100 hospitalizaciones (vigilancia centinela),
SE 43 de 2022 (comparado con 2017-21)





TECHNICAL NOTE

Average Curves

Average curves for influenza-like illness (ILI), acute respiratory infection (ARI), pneumonia, and severe acute respiratory infection (SARI) were generated using the WHO Average Curve App.

In the report, the average curve is shown in black and the ongoing season is shown in blue. The average curve shows a typical season in terms of both timing and intensity. The distribution of past seasonal peaks is shown with a boxplot and vertical shading. Thresholds depicting the intensity of activity are shown with colored lines⁵.

Viral distribution by year and epidemiological week

Please note that the percent positivity line of influenza and other respiratory virus is computed with a three (3) week average⁶.

NOTA TÉCNICA

Curvas promedio

Las curvas promedio para la enfermedad tipo influenza (ETI), infección respiratoria aguda (IRA), neumonía e infección respiratoria aguda grave (IRAG) se generaron utilizando la aplicación de Curva promedio de la OMS.

En el informe, la curva promedio se muestra en negro y la temporada en curso se muestra en azul. La curva promedio muestra una temporada típica en términos de tiempo e intensidad. La distribución de los picos estacionales anteriores se muestra con un diagrama de caja y sombreado vertical. Los umbrales que representan la intensidad de la actividad se muestran con líneas de colores⁵.

Distribución de los virus por año y semana epidemiológica

Tenga en cuenta que la línea del porcentaje de positividad para influenza y los otros virus respiratorios se calcula con un promedio de tres (3) semanas⁶.

⁵ WHO (2021), WHO Average Curves software, Version 0.3 (9 Oct 2019), © Copyright World Health Organization (WHO), Geneva.

⁶ World Health Organization. (2013). Global epidemiological surveillance standards for influenza. World Health Organization. <https://apps.who.int/iris/handle/10665/311268>



ACRONYMS

ARI	Acute respiratory infection
CARPHA	Caribbean Public Health Agency
EW	Epidemiological week
ILI	Influenza-like illness
NIH	National Institute of Health
ORV	Other respiratory viruses
SARI	Severe acute respiratory infection
ICU	Intensive care unit
RSV	Respiratory syncytial virus

ACRÓNIMOS

CARPHA	Agencia de Salud Pública del Caribe
ETI	Enfermedad tipo influenza
INS	Instituto Nacional de Salud
IRA	Infección respiratoria aguda
IRAG	Infección respiratoria aguda grave
OVR	Otros virus respiratorios
SE	Semana epidemiológica
UCI	Unidad de cuidados intensivos
VRS	Virus respiratorio sincitial





SARInet plus
Severe Acute Respiratory Infections Network

PAHO



Pan American
Health
Organization



World Health
Organization
REGIONAL OFFICE FOR THE Americas

OPS



Organización
Panamericana
de la Salud



Organización
Mundial de la Salud
OFICINA REGIONAL PARA LAS Américas

2022